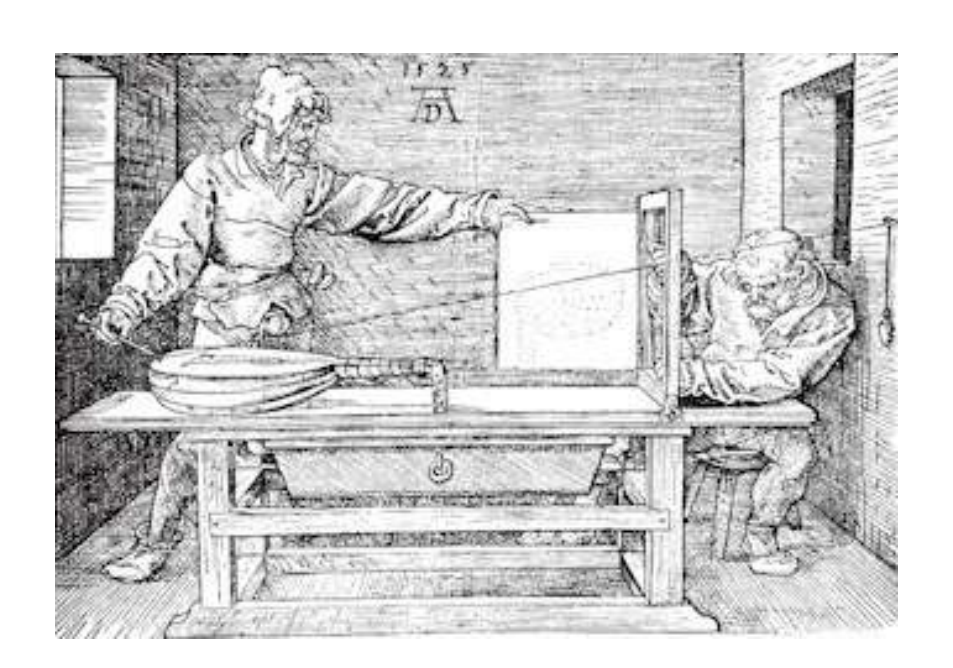




# Computer-Graphik I Projektionen, Perspektive & Viewing Transformation



G. Zachmann
University of Bremen, Germany
cgvr.cs.uni-bremen.de

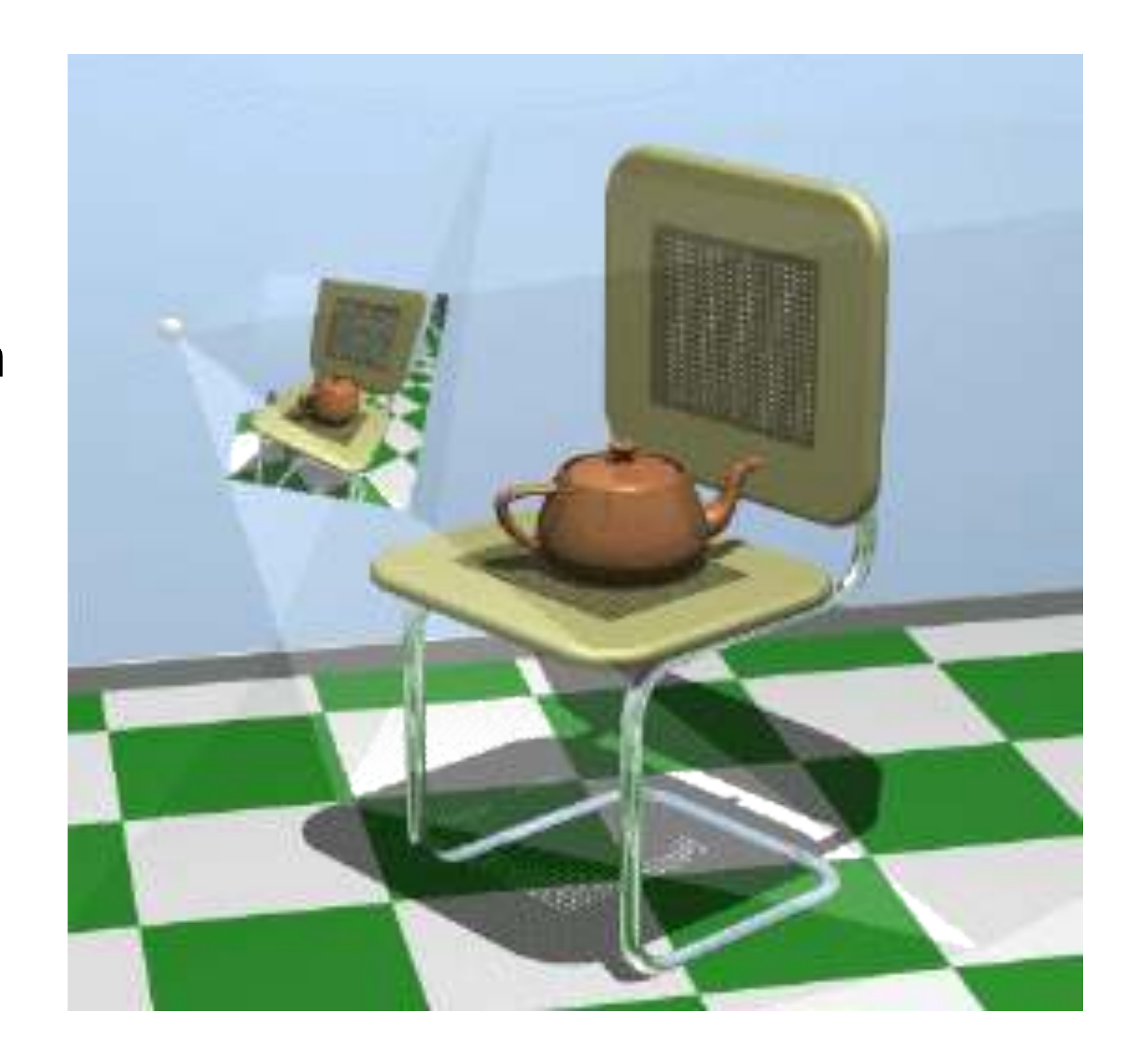




## Prinzipielles Vorgehen



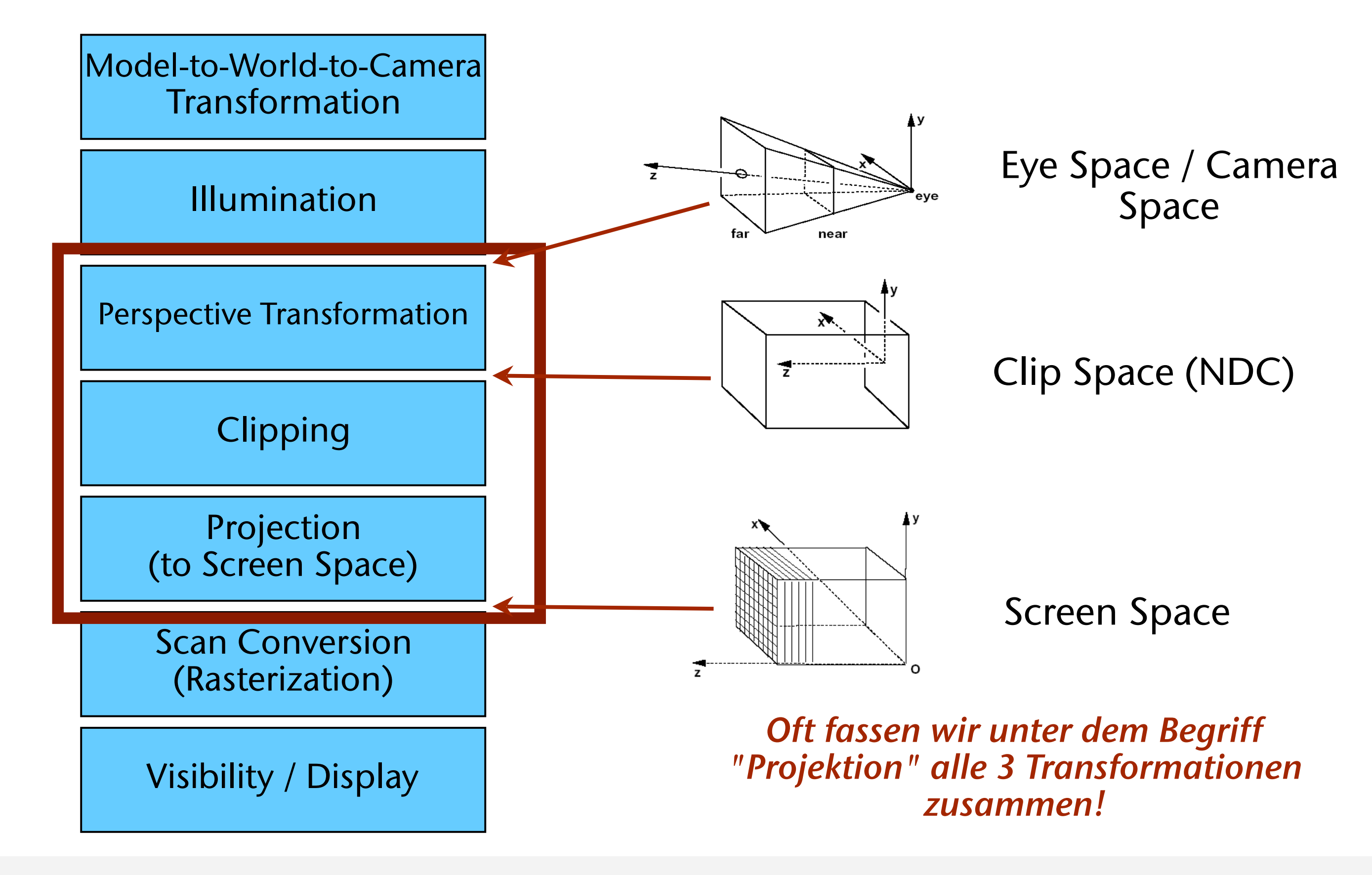
- Ziel: die virtuelle 3D Welt auf einem
   2D Display darstellen
- Transformiere die Welt (= World Space; einschließlich der gedachten Kamera) so, daß die Kamera im Ursprung landet und Richtung -Z schaut → Viewing Transformation
- Führe die Projektion (i.A. perspektivisch) auf die Bildebene durch → Projection Transform





#### Viewing & Projection Transformation in der Pipeline



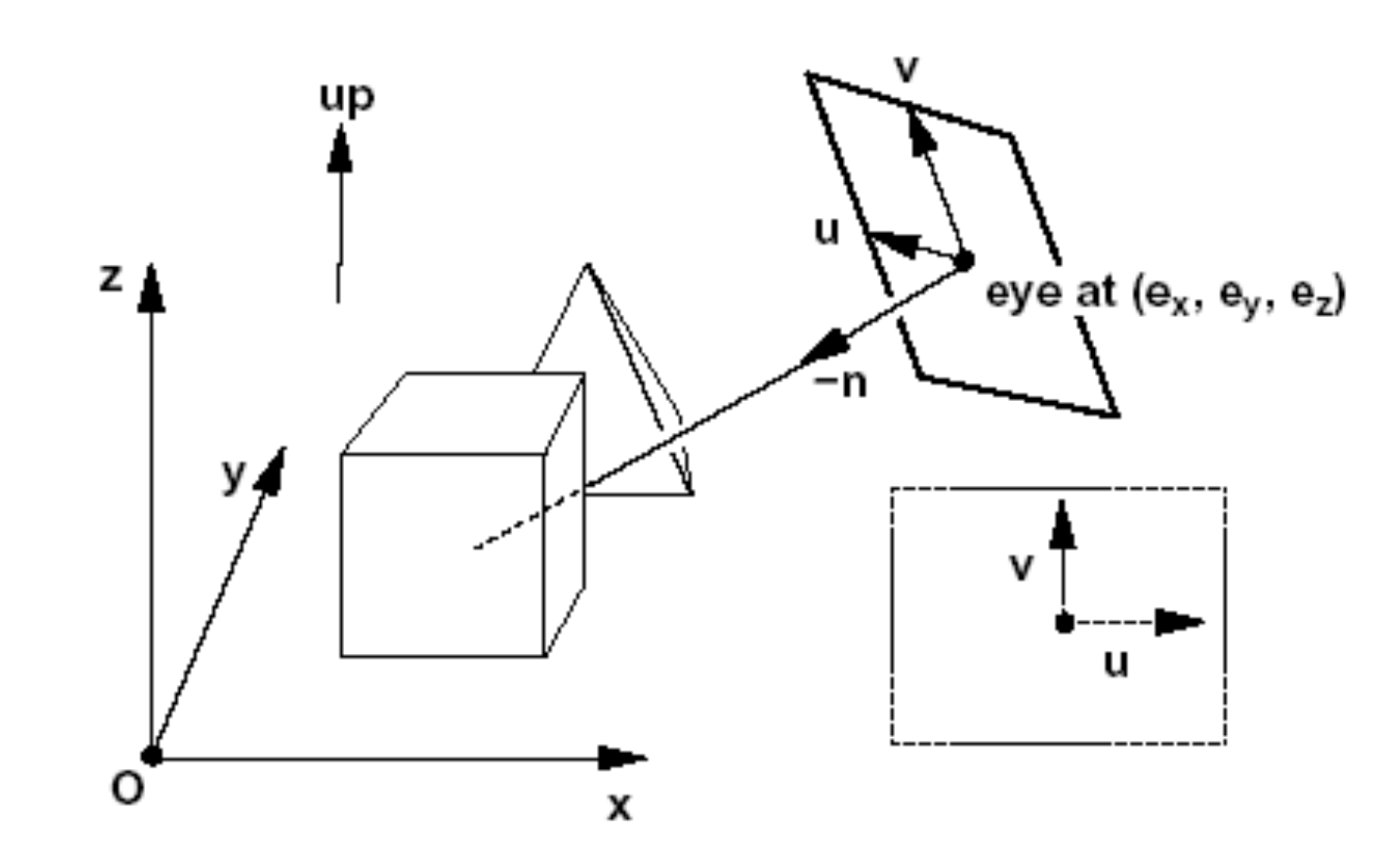




## Transformation von World Space → Eye Space



- Heißt Viewing Transformation oder Camera Transformation
  - Manchmal auch kombiniert als Modelview Transformation
- Parameter zum Positionieren der Kamera:
  - Augpunkt  $\mathbf{E} = (e_x, e_y, e_z)$
  - "Up"-Vektor in Weltkoordinaten: dieser Vektor soll senkrecht auf dem Bildschirm erscheinen, also parallel zu v
  - Punkt C in Weltkoordinaten, der in der Mitte des Bildes erscheinen soll (heißt auch Look-At)
- Aufgabe: daraus das Kamerakoordinatensystem (u, v, n)
   berechnen (camera space)



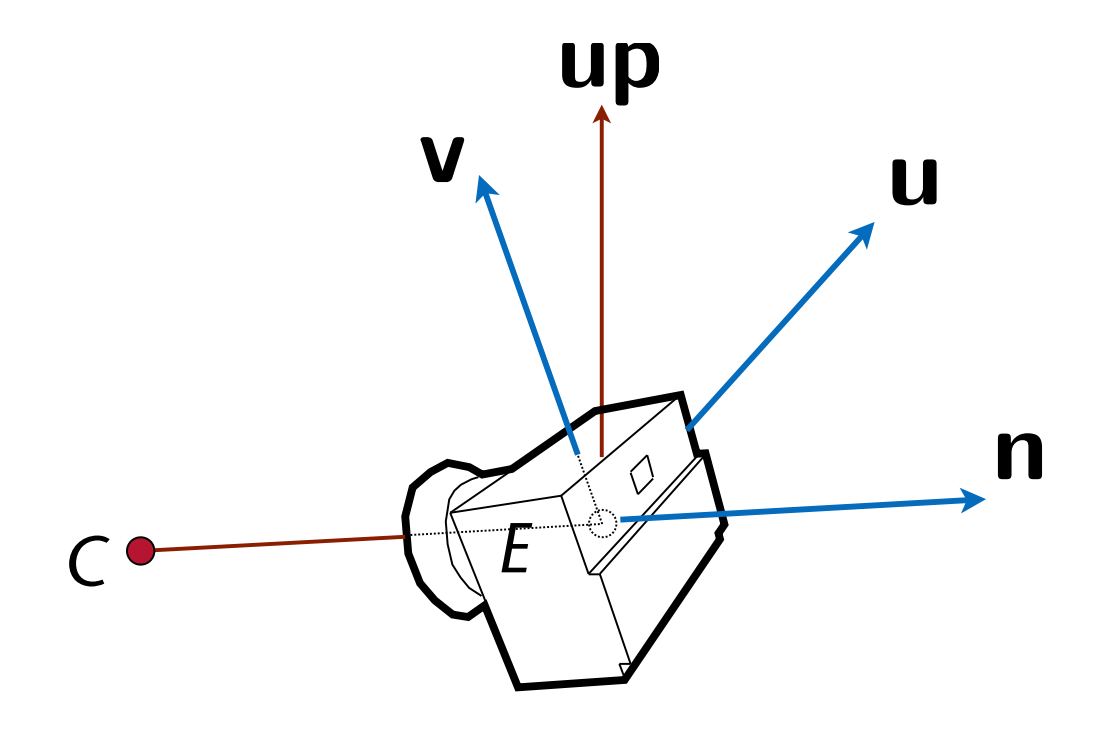




$$\mathbf{n} = \frac{E - C}{\|E - C\|}$$

$$\mathbf{u} = \frac{\mathbf{u}\mathbf{p} \times \mathbf{n}}{|\mathbf{u}\mathbf{p} \times \mathbf{n}|}$$

$$\mathbf{v} = \mathbf{n} \times \mathbf{u}$$

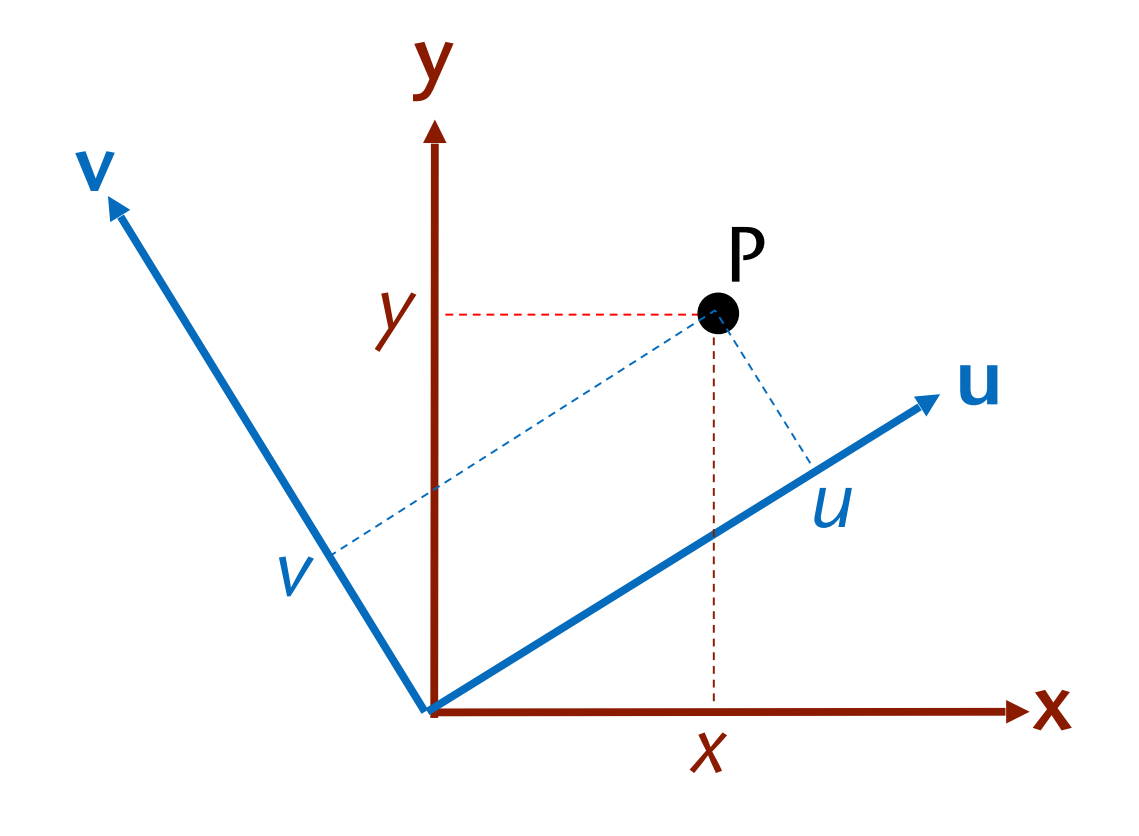






- Transformation von Weltkoord, nach Kamerakoord, = Translation + Wechsel der Basis
- Gegeben: Koord.achsen x,y,z & u,v,n und ein Vertex P =  $(p_x, p_y, p_z)$
- Bestimme P in **u,v,n**-Koord., also P' =  $(p_u, p_v, p_n)$
- Wechsel der Basis:

$$\begin{pmatrix} p_u \\ p_v \\ p_n \end{pmatrix} = \begin{pmatrix} u_x & u_y & u_z \\ v_x & v_y & v_z \\ n_x & n_y & n_z \end{pmatrix} \begin{pmatrix} p_x \\ p_y \\ p_z \end{pmatrix}$$

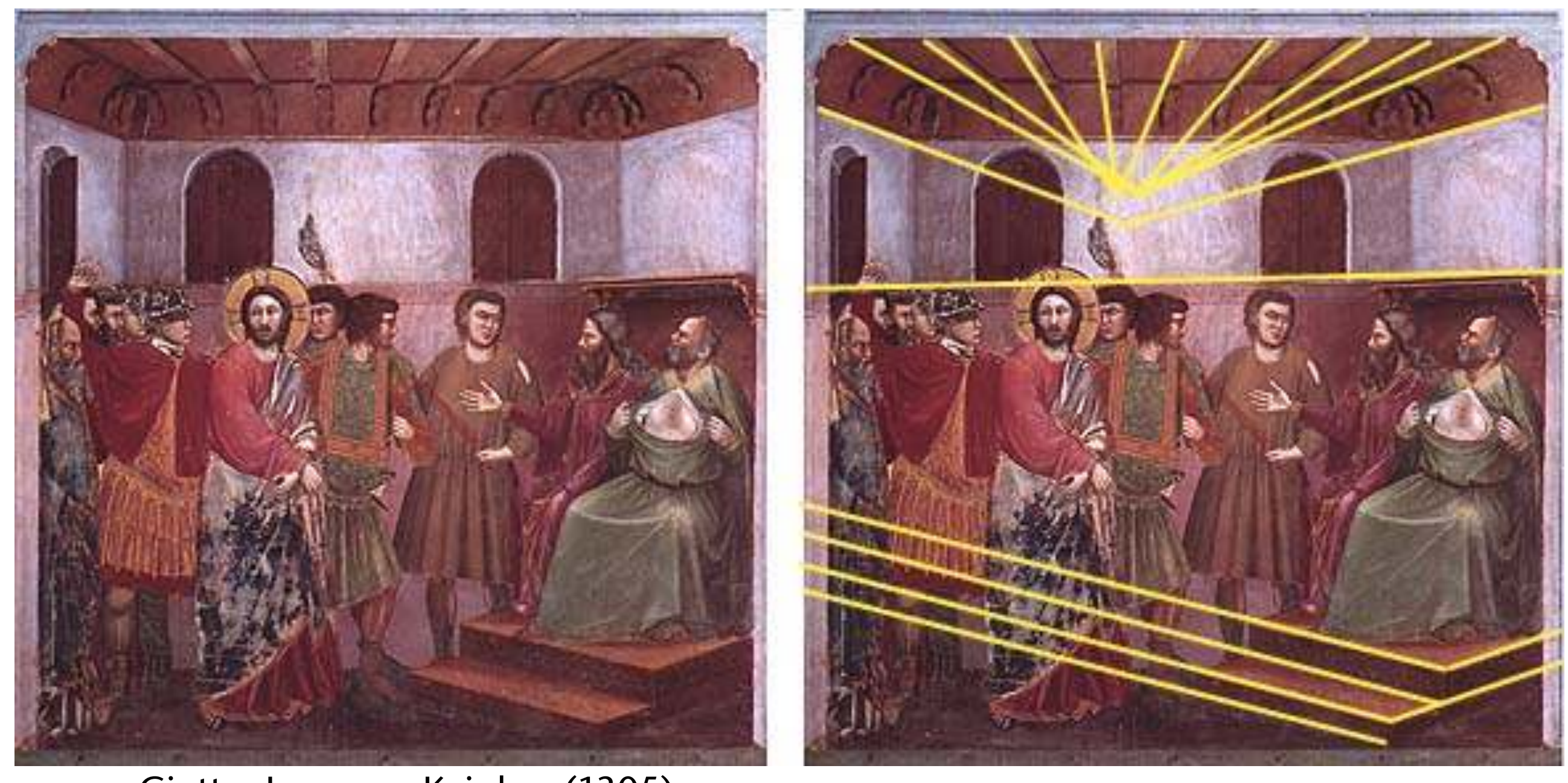




## Perspektive in der Kunstgeschichte



Erste Ansätze:



Giotto: Jesus vor Kaiphas (1305)



### Brunelleschi's "Peep show" in Florenz, ca. 1410-1420









The Baptistry, San Giovanni, Florence

Duomo and Piazza del Duomo, Firenze







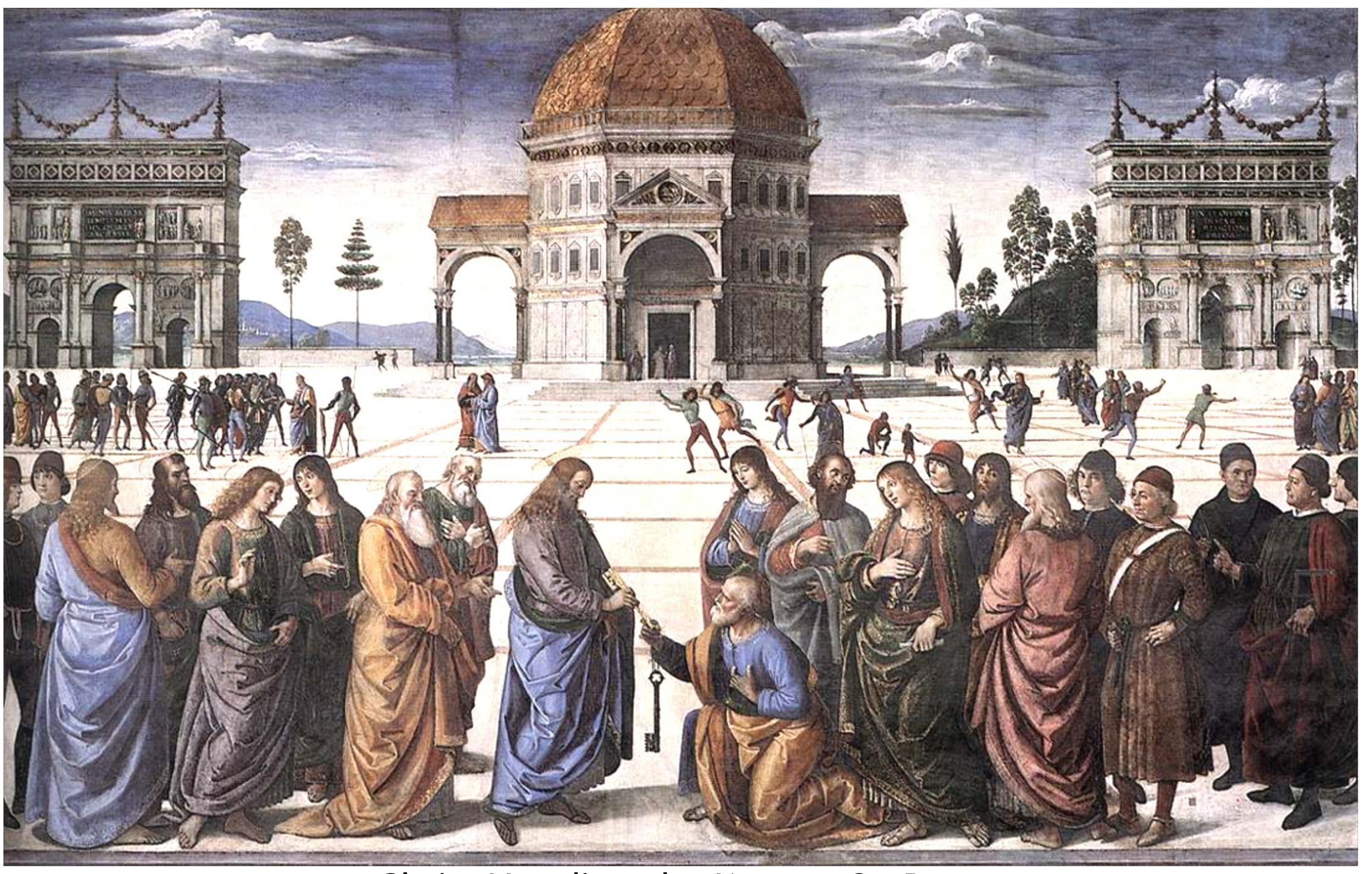


Reconstruction of the temple of Jerusalem. From William of Tyre: Histoire d'Outremer. France, Rouen, XVe siècle Artist: Maître de l'Échevinage Ca. 1460-1470



#### Schachbrettmuster wurden sehr beliebt



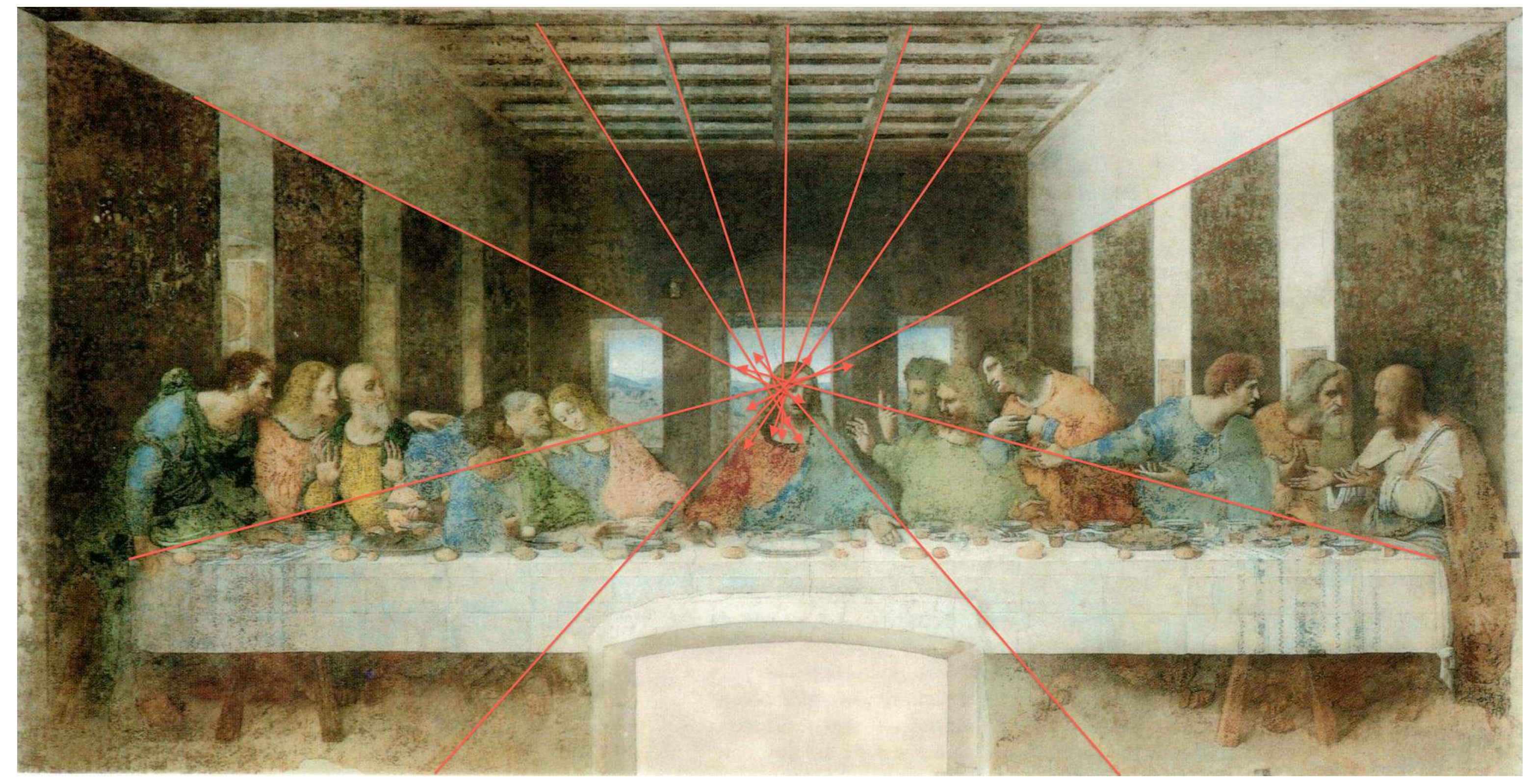


Christ Handing the Keys to St. Peter Pietro Perugino (1481-82), Fresco, Sixtinische Kapelle, Vatikan



### Der gezielte Einsatz der Perspektive: da Vinci's Abendmahl



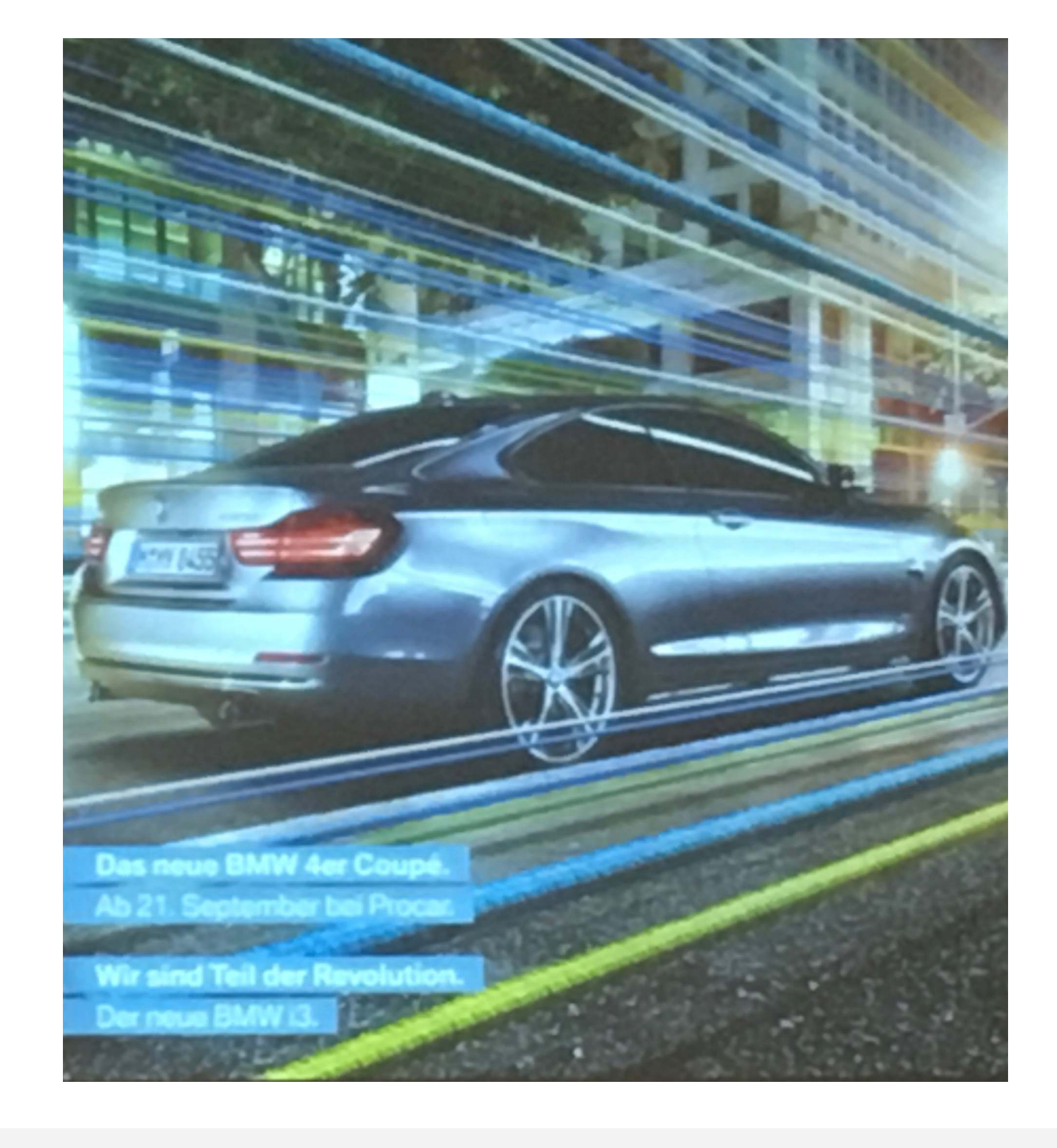


1494 — 1498



### In der Werbung







### Erste perspektivische "Rätsel"





Die Gesandten Hans Holbein der Jüngere (1533)



### Hat Vermeer eine Camera Obscura (mit Linse) benutzt?







#### Eine Satire über Perspektive

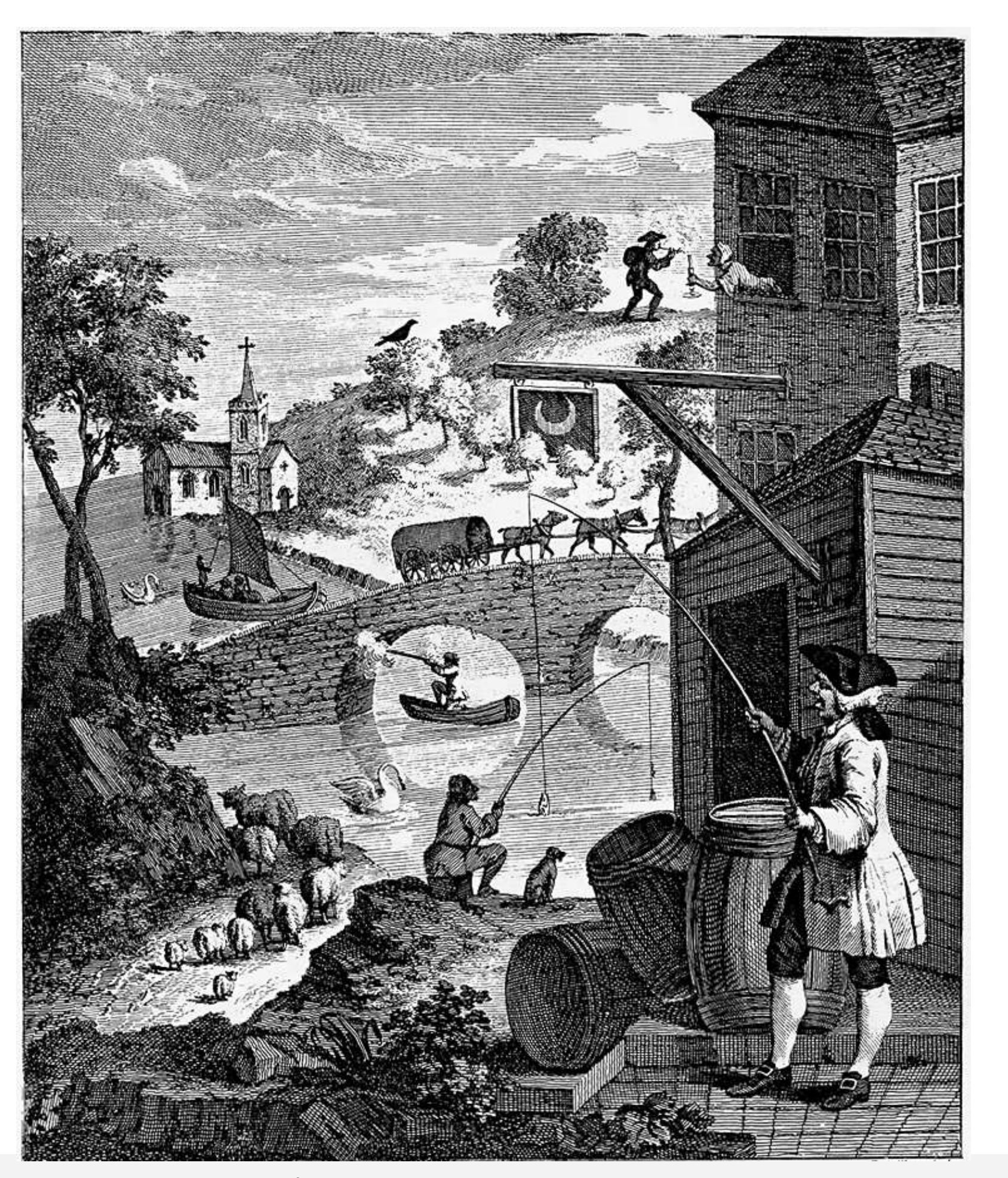


15

"Satire on False Perspective" by William Hogarth, 1753

#### Bildunterschrift:

Whoever makes a DESIGN without the Knowledge of PERSPECTIVE will be liable to such Absurdities as are shewn in this Frontispiece.

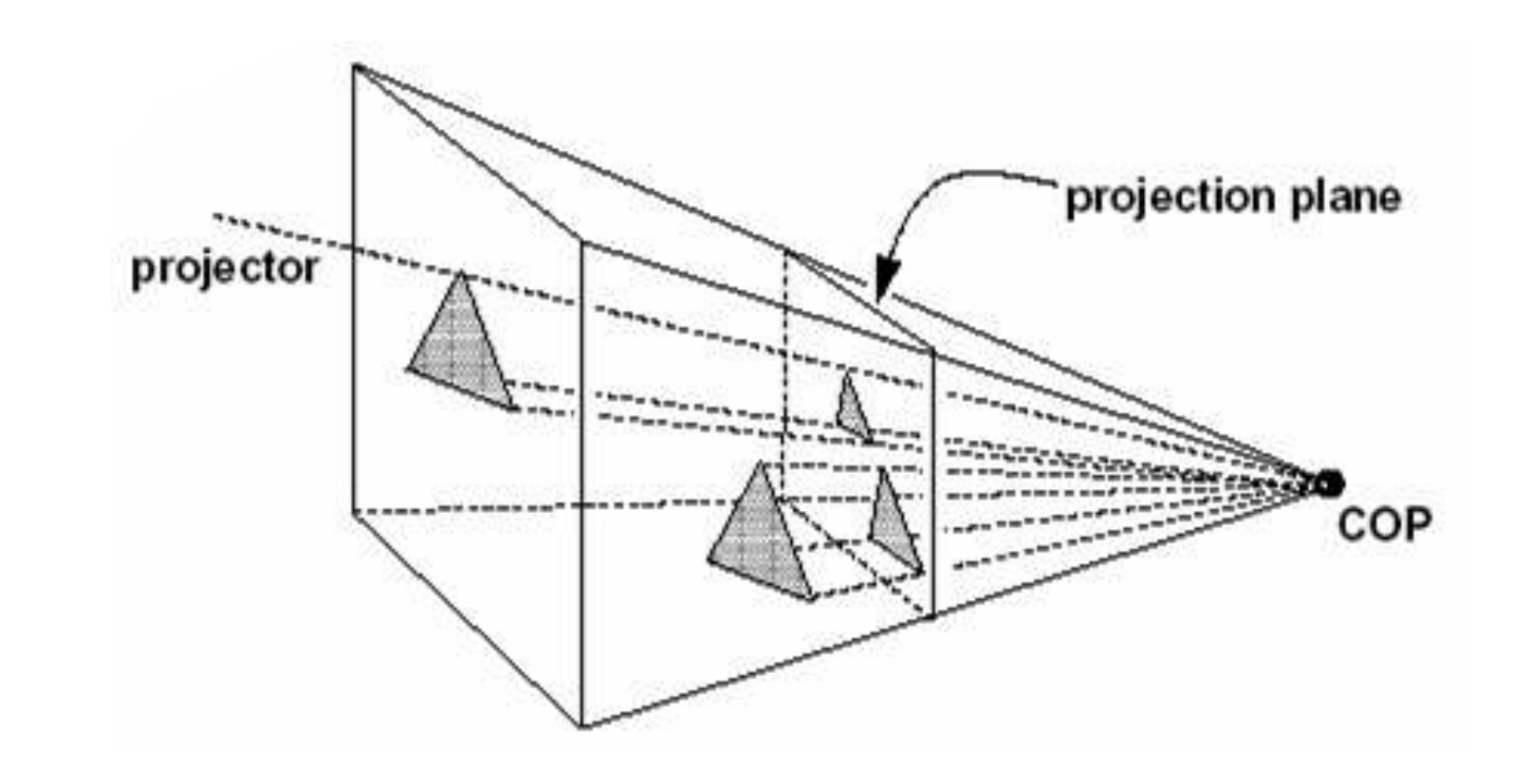




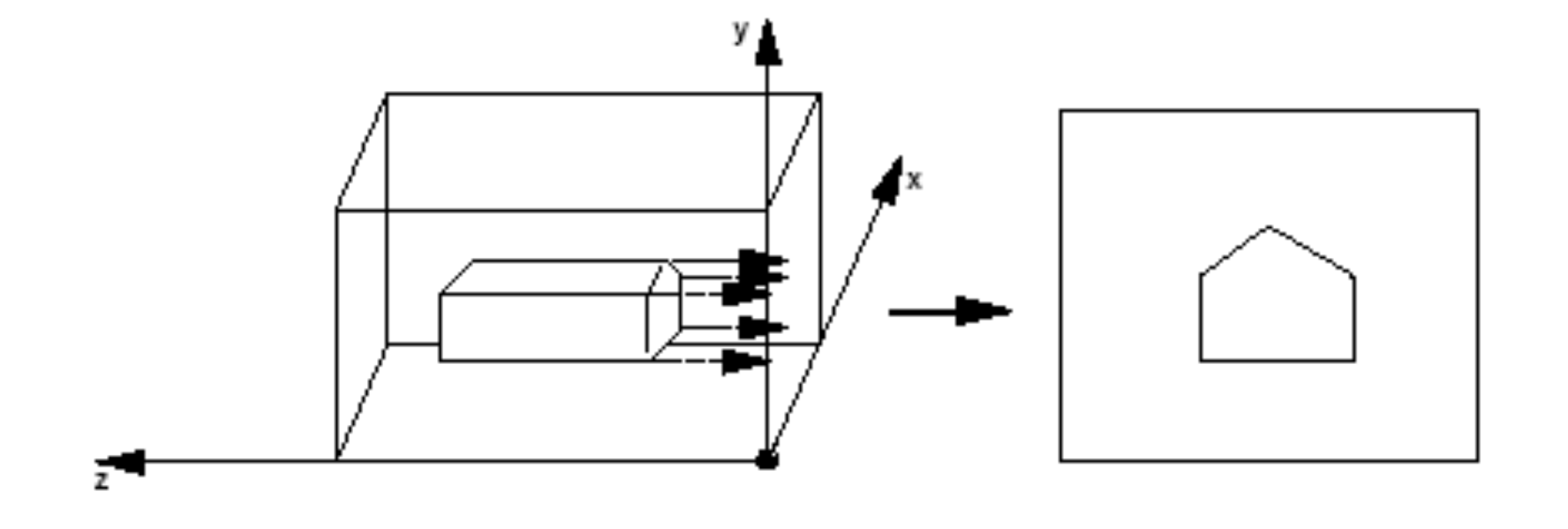
## Orthographische vs. Perspektivische Projektion



Perspektivische Projektion =
 alle Projektionsstrahlen laufen im
 Projektionszentrum
 (COP) zusammen



- Orthographische Projektion = parallele Projektionsstrahlen
  - Kann man als Spezialfall der perspektivischen Projektion betrachten

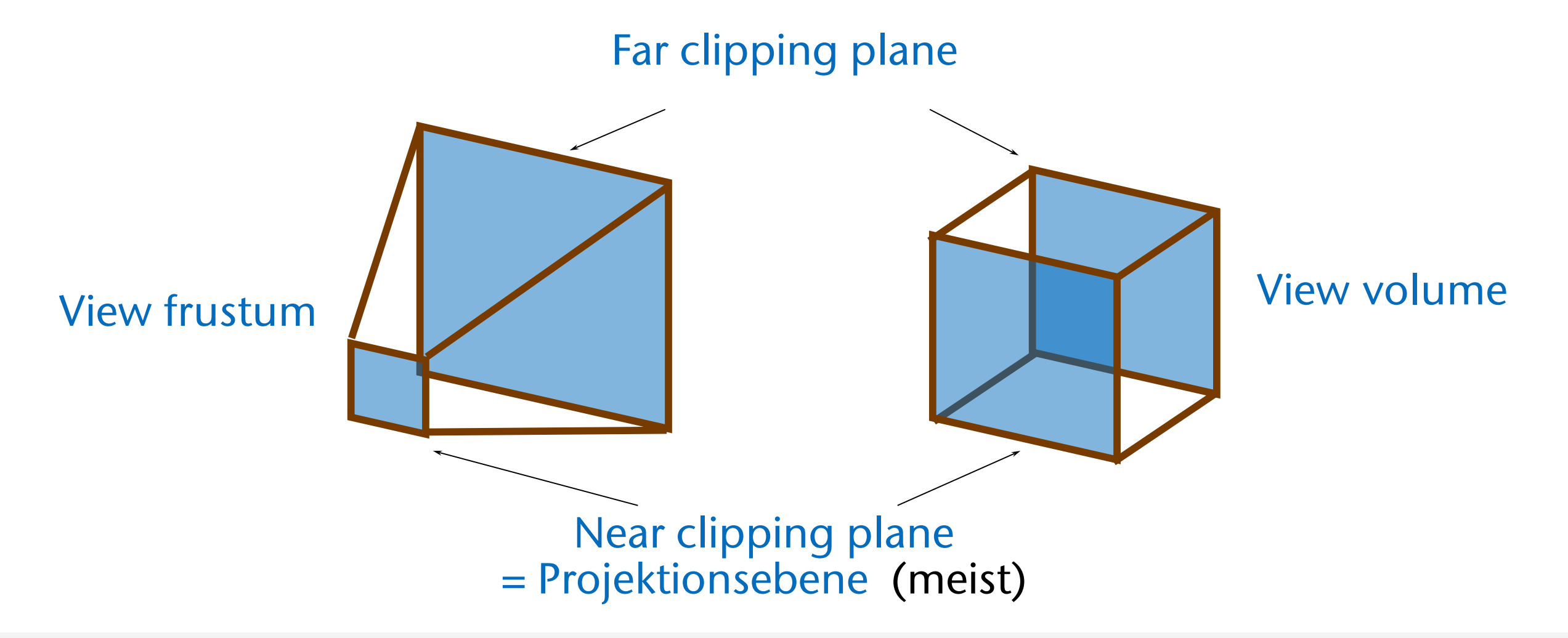




## Terminologie



- Der Bereich des 3D-Raumes, der auf den Bildschirm projiziert wird, heißt View Volume, oder Viewing Volume
- Bei perspektivischer Projektion heißt er auch View Frustum
  - Lat. "frustum" = (abgebrochener) Brocken





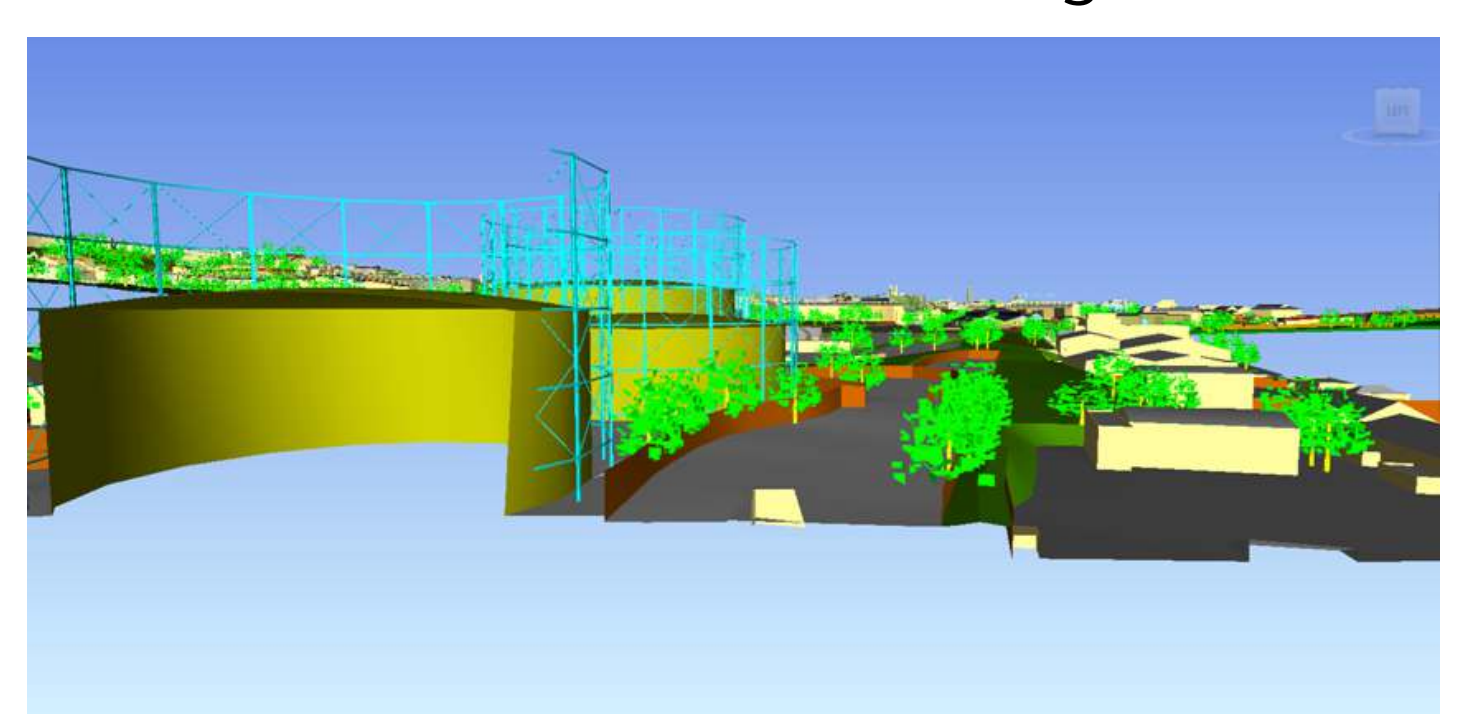
#### Die richtige Wahl der Near- und Far-Plane

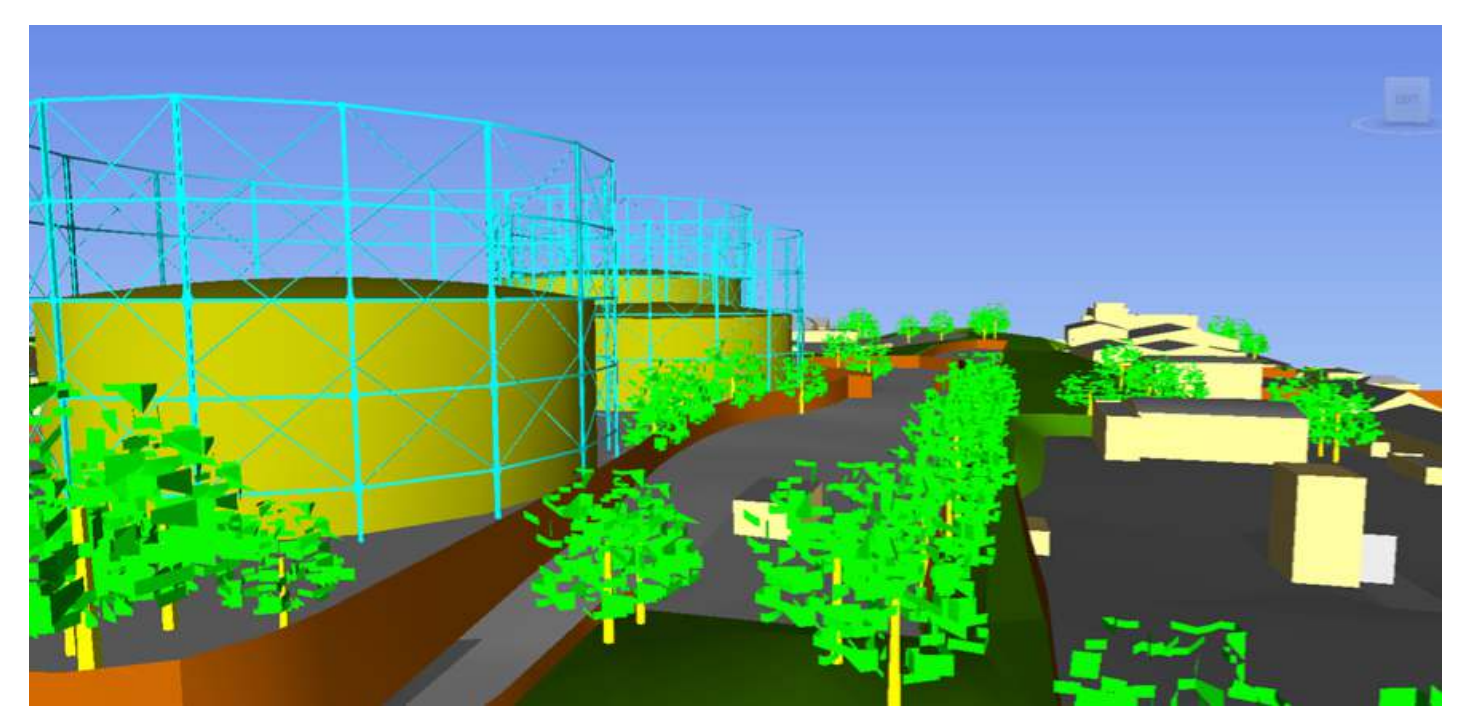


Szene von oben



Near-Plane zu weit weg





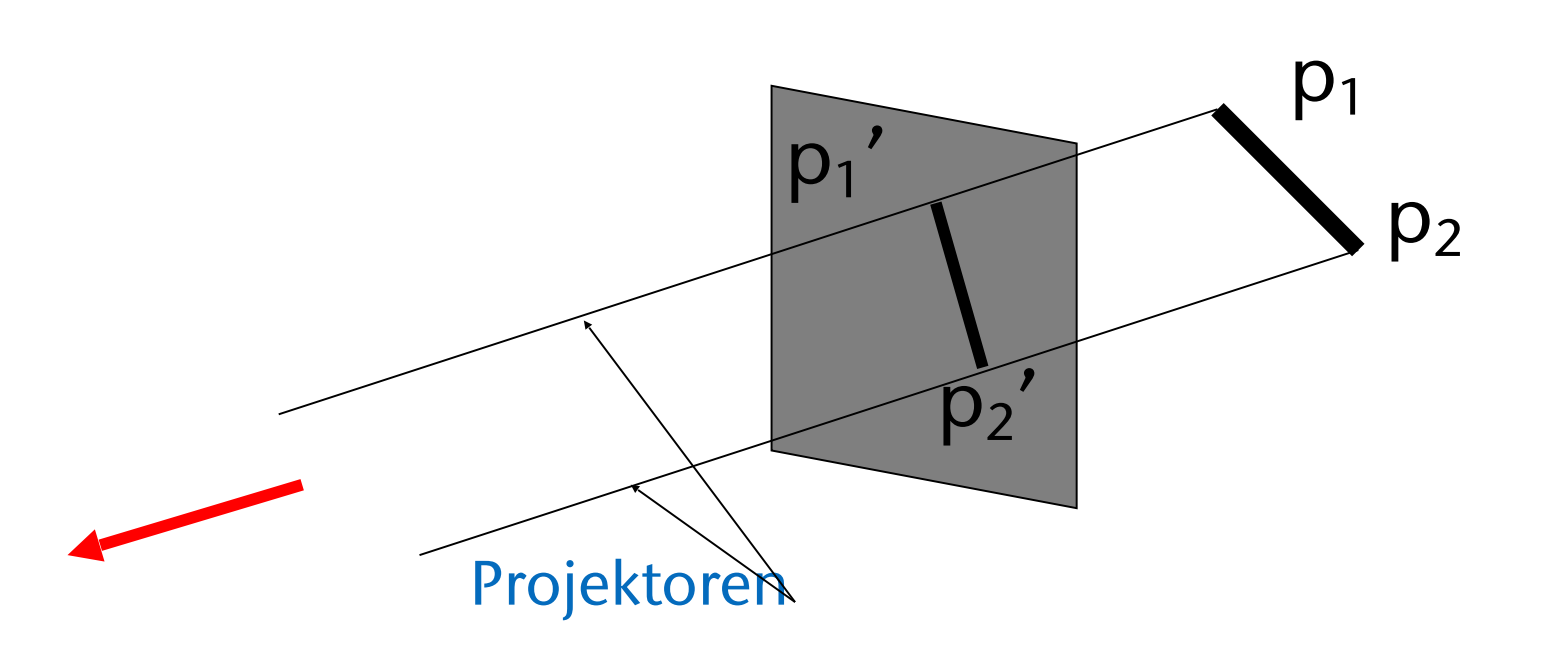
Far-Plane zu nah

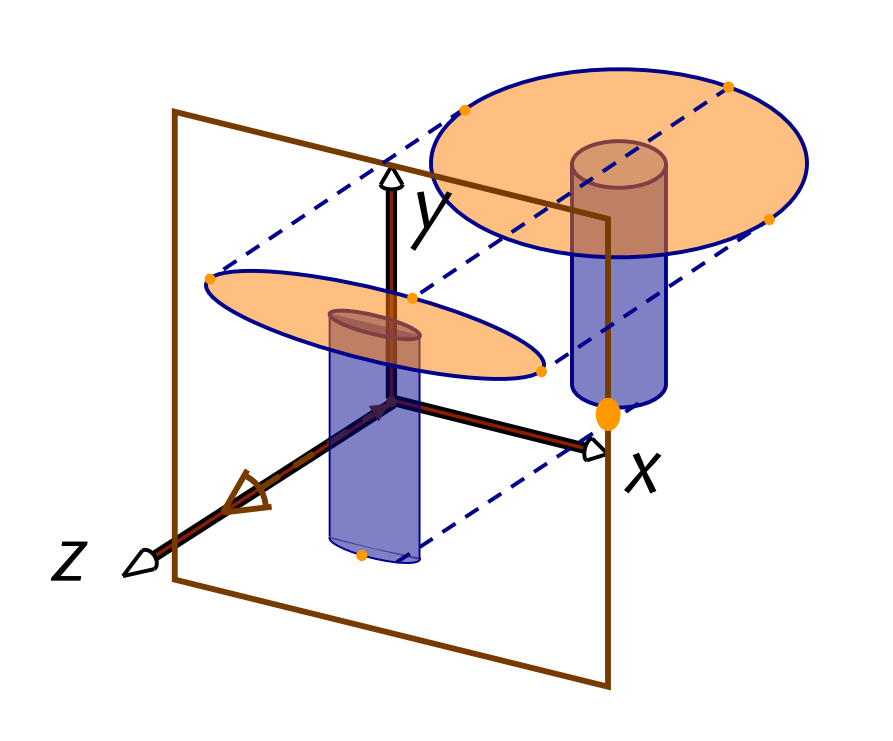


## Orthographische Projektion



- Punkte werden orthogonal auf die Projektionsebene (viewing plane) projiziert
  - Projektionslinien verlaufen senkrecht zur Projektionsebene
- Eigenschaften:
  - Parallele Linien bleiben parallel
  - Winkelverhältnisse bleiben erhalten, aufgrund der parallelen Verschiebung zur Projektionsebene
- Es gibt noch andere (schiefe) Parallel-Projektionen





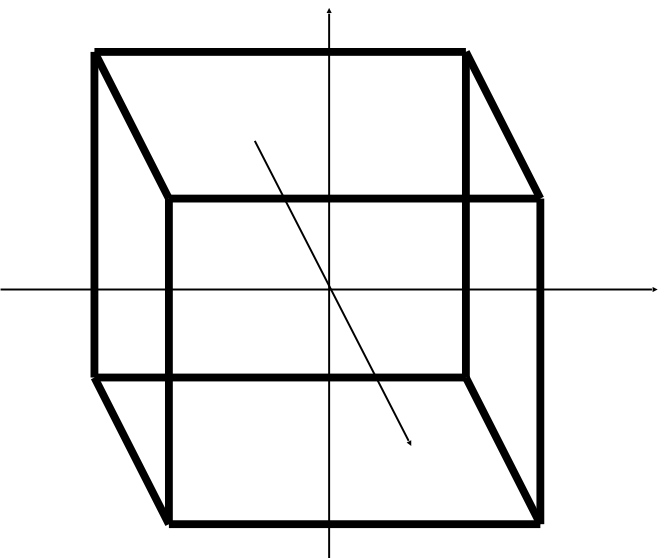


#### Die Projektionsmatrix



- Annahme: die komplette "virtuelle Welt" befindet sich im (kanonischen) Viewing-Volume (-1,-1,-1) bis (1,1,1)
- Die x- und y-Komponente bleiben unverändert
- Projektionsmatrix setzt z-Komponente auf 0:

$$P_{\mathsf{ortho}} = egin{pmatrix} 1 & 0 & 0 & 0 \ 0 & 1 & 0 & 0 \ 0 & 0 & 0 & 0 \ 0 & 0 & 0 & 1 \end{pmatrix}$$



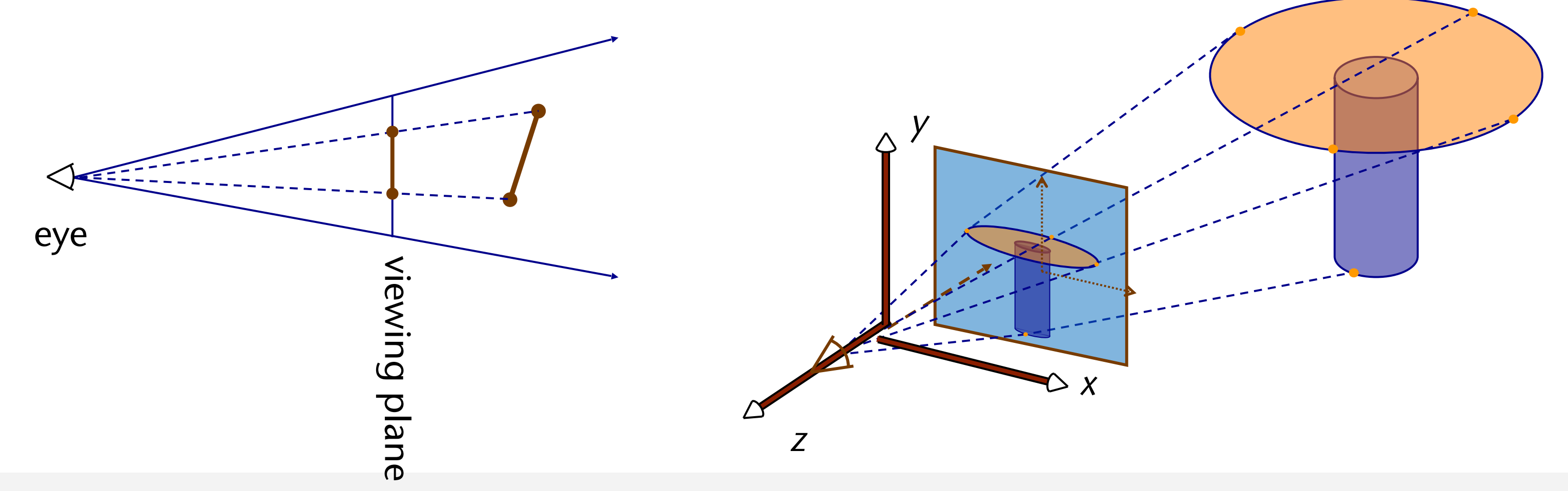
Projektionen



### Perspektivische Projektion



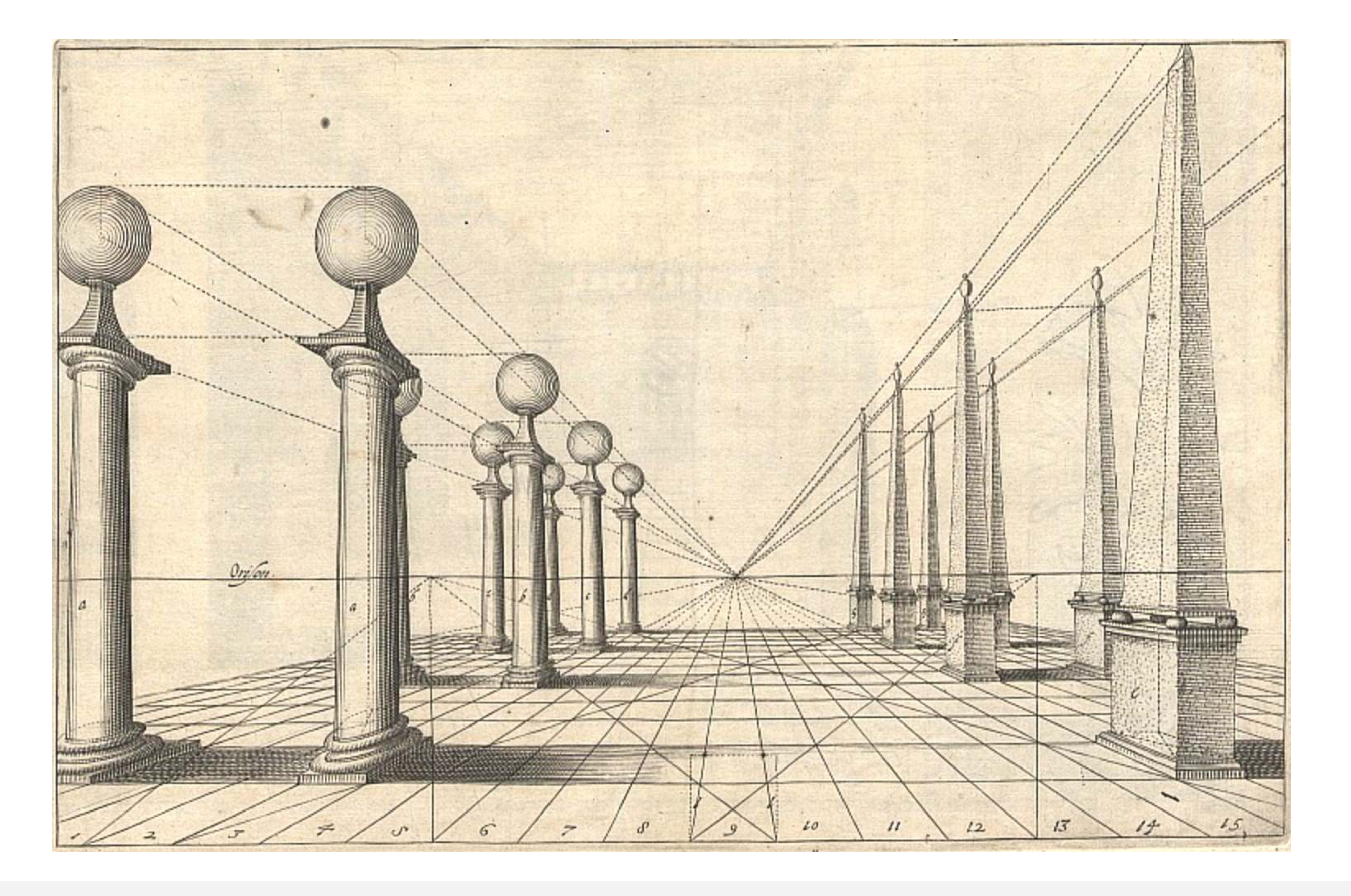
- Wird am häufigsten verwendet in der Computergraphik & Malerei (früher)
- Unser Auge führt eine Zentralperspektive durch ("Lochkamera")
- Punkte werden entlang einer Gerade zum Zentrum der Projektion (COP;
   z.B. Mittelpunkt der Augenlinse) auf die Bild-Ebene (viewing plane)
   projiziert

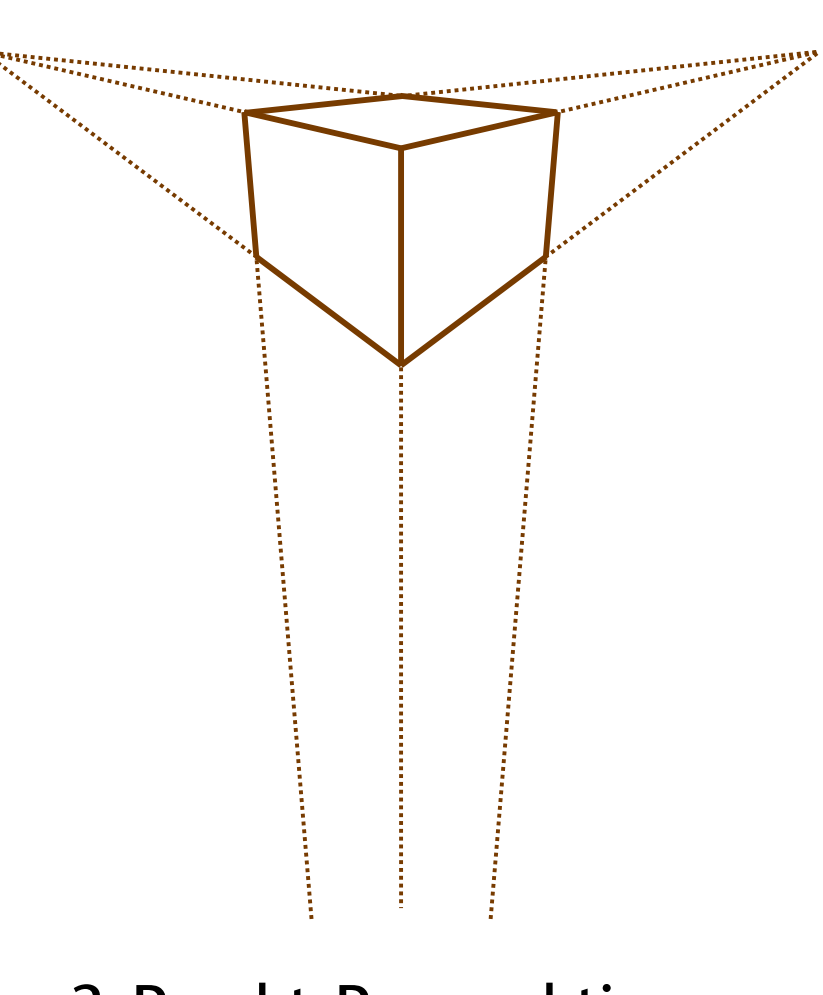




### Konstruktion in der Malerei







3-Punkt-Perspektive



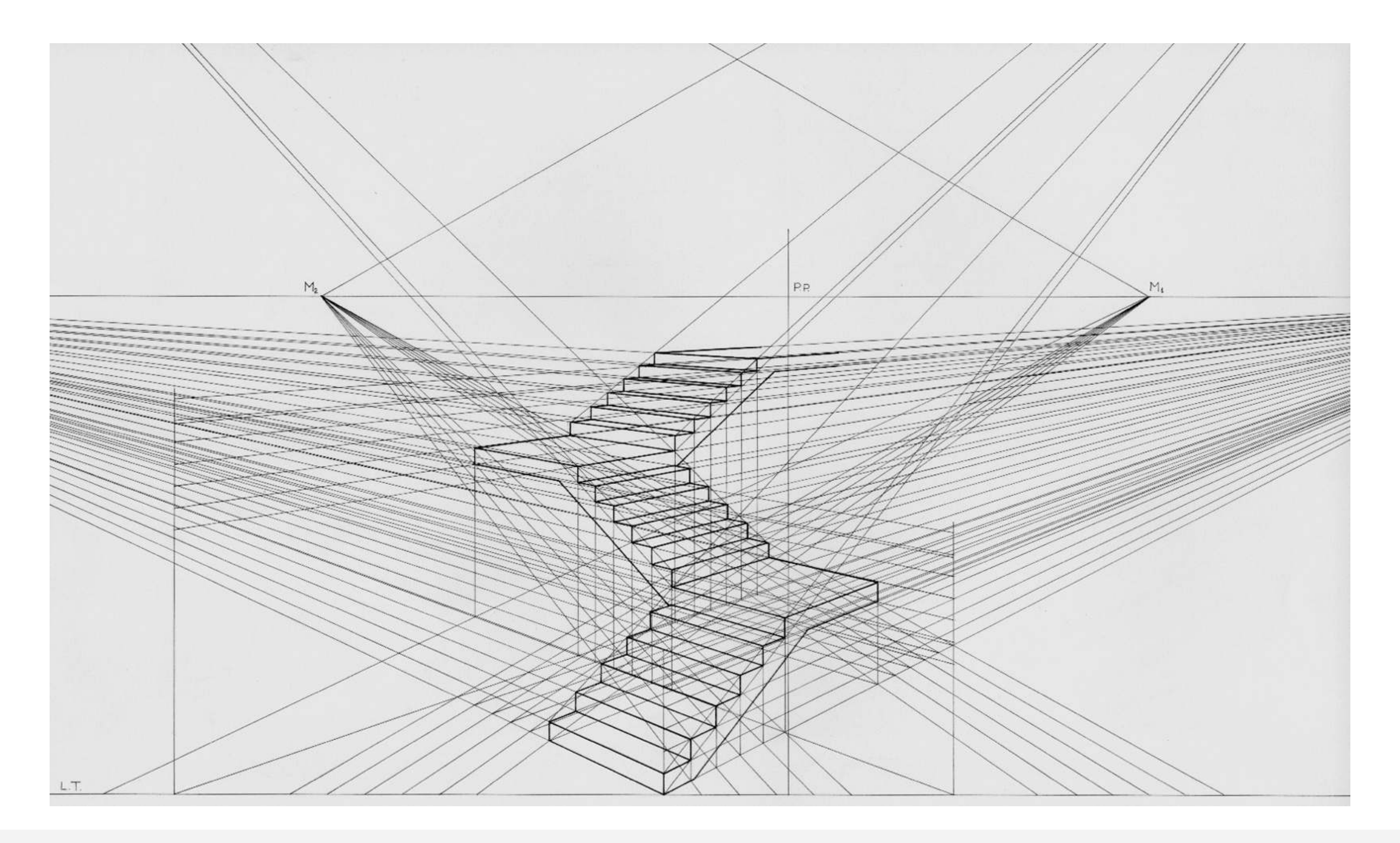
### Eigenschaften



- Entfernte Objekte sind kleiner (perspektivische Verzerrung)
- Parallele Linien werden nicht auf parallele Linien abgebildet, sondern laufen scheinbar in einem gemeinsamen Punkt zusammen
  - Solch ein Punkt heißt Fluchtpunkt
- Alle Bündel von parallelen Linien, die horizontal sind (müssen nicht notw. in einer horizontalen Ebene liegen!), haben (jeweils) einen Fluchtpunkt, der auf der Horizontlinie im Bild liegt
- Zu jeder Schar von Ebenen im 3D gehört eine solche "Fluchtpunktlinie" im Bild





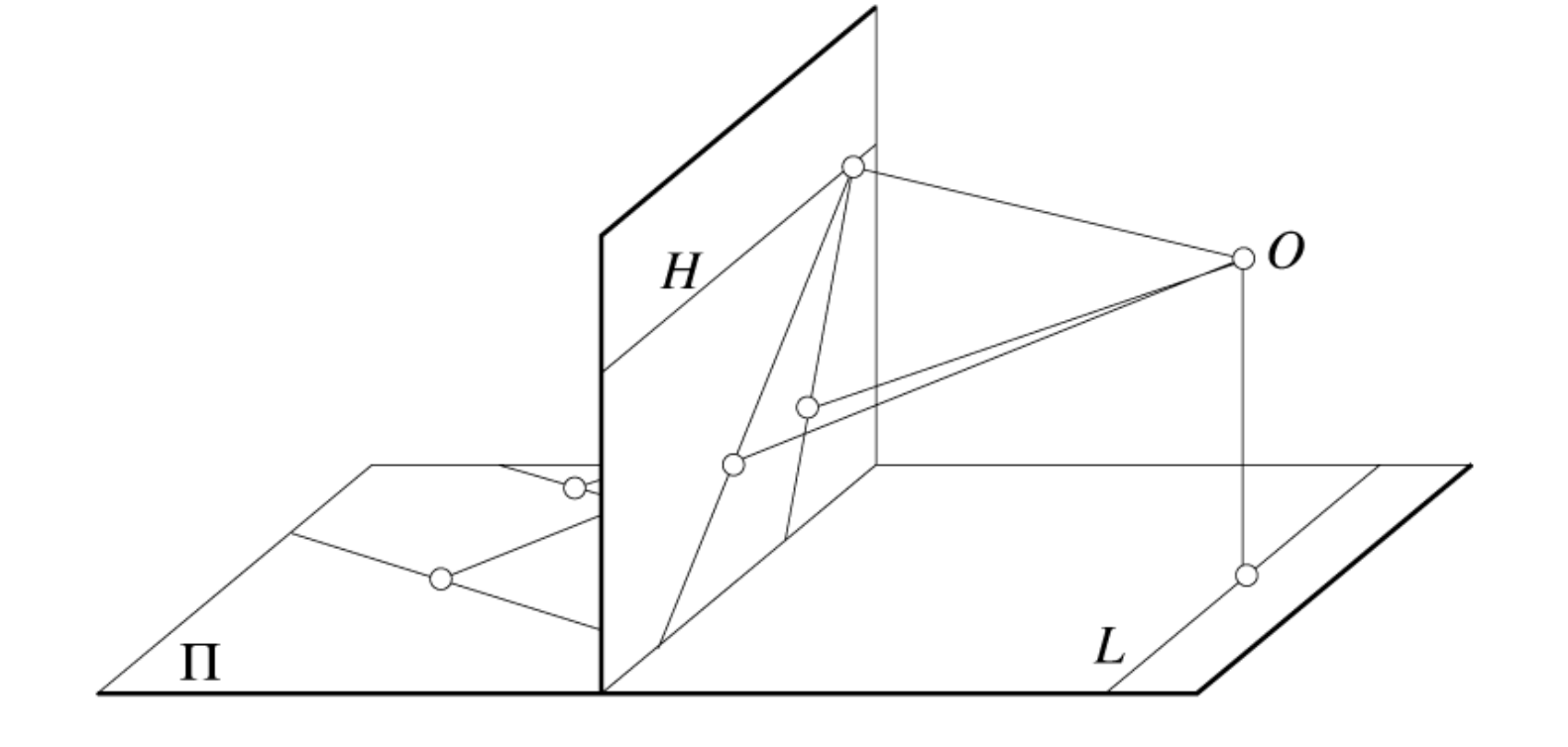




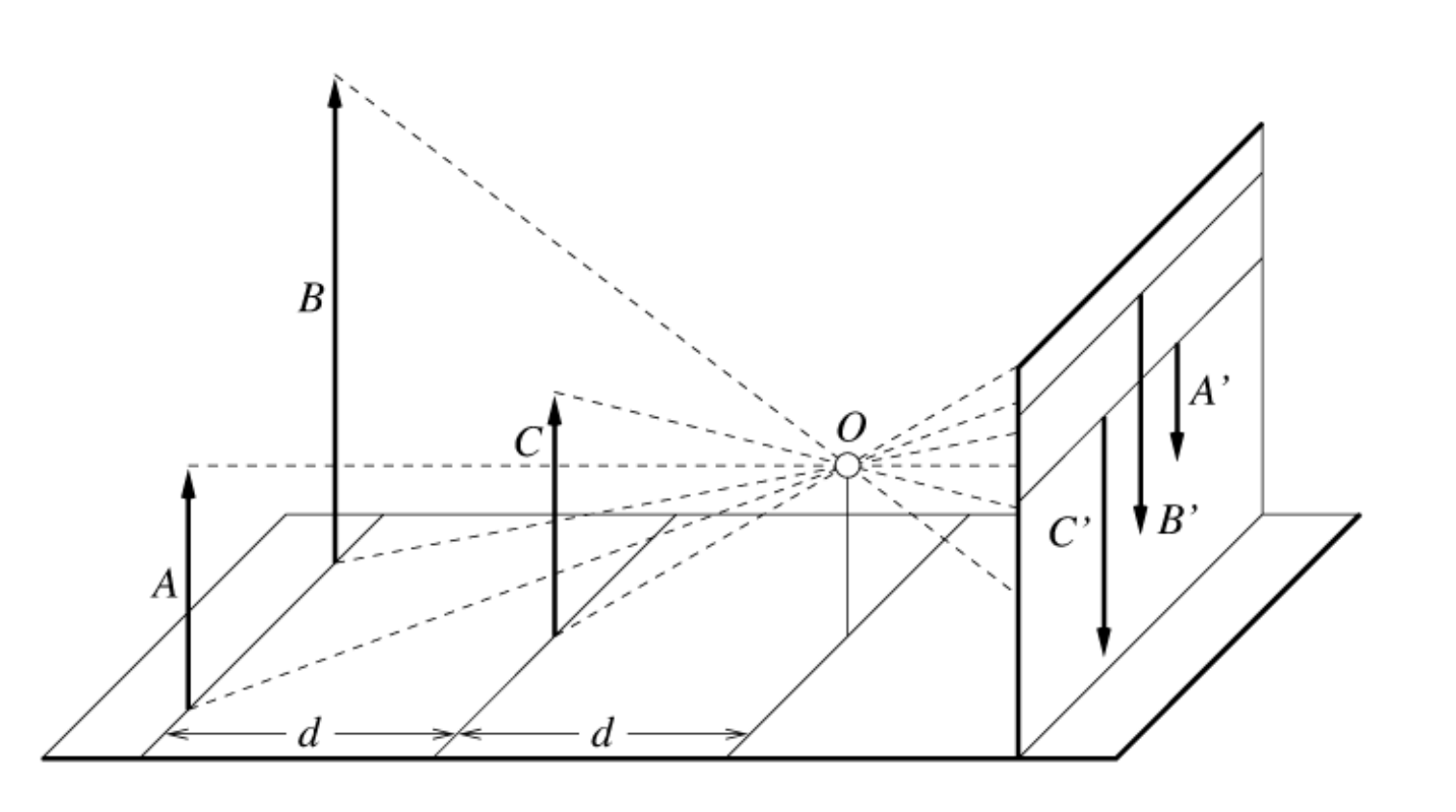
#### Veranschaulichung der Eigenschaften der perspektivischen Projektion



• Parallele Linien bleiben *nicht* parallel



 Längen im Bild hängen von der Tiefe ab





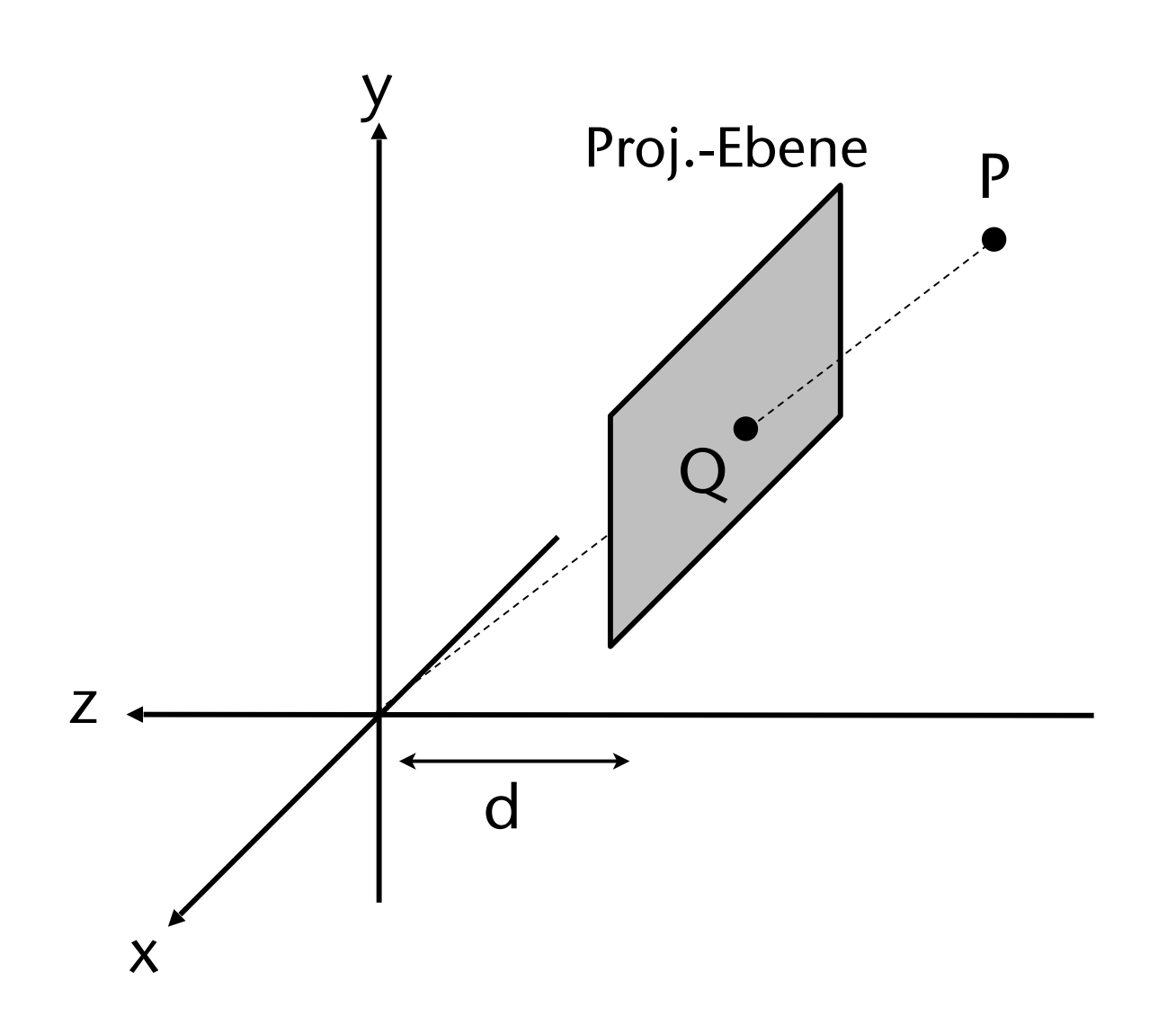
#### Die Projektionsmatrix



- Ann.: Kamera im Ursprung, schaut in Richtung negative z-Achse
- Projektion auf eine Ebene z = -d, d > 0

$$Q = egin{pmatrix} -p_{x} rac{d}{p_{z}} \ -p_{y} rac{d}{p_{z}} \ -d \end{pmatrix} \cong egin{pmatrix} -p_{x} rac{d}{p_{z}} \ -p_{y} rac{d}{p_{z}} \ -d \end{bmatrix} \cong egin{pmatrix} p_{x} \ p_{y} \ p_{z} \ -rac{p_{z}}{d} \end{pmatrix}$$

$$Q = P_{\mathsf{persp}} \cdot P = egin{pmatrix} 1 & 0 & 0 & 0 \ 0 & 1 & 0 & 0 \ 0 & 0 & 1 & 0 \ 0 & 0 & -rac{1}{d} & 0 \end{pmatrix} egin{pmatrix} 
ho_{\mathsf{x}} \ 
ho_{\mathsf{y}} \ 
ho_{\mathsf{z}} \ 1 \end{pmatrix}$$







27

Mit anschließender Projektion auf Ebene z = 0

$$P_{\mathsf{persp}}' = egin{pmatrix} 1 & 0 & 0 & 0 \ 0 & 1 & 0 & 0 \ 0 & 0 & 0 & 0 \ 0 & 0 & -rac{1}{d} & 0 \end{pmatrix}$$

- Beachte:
  - Wenn d  $\to \infty$ , dann entspricht  $P_{\text{persp}}$  der orthographischen Projektion
  - Wenn  $d \rightarrow 0$ , dann wird

$$Q = \left(egin{array}{c} p_\chi \ p_y \ p_z \ -rac{p_z}{d} \end{array}
ight)$$

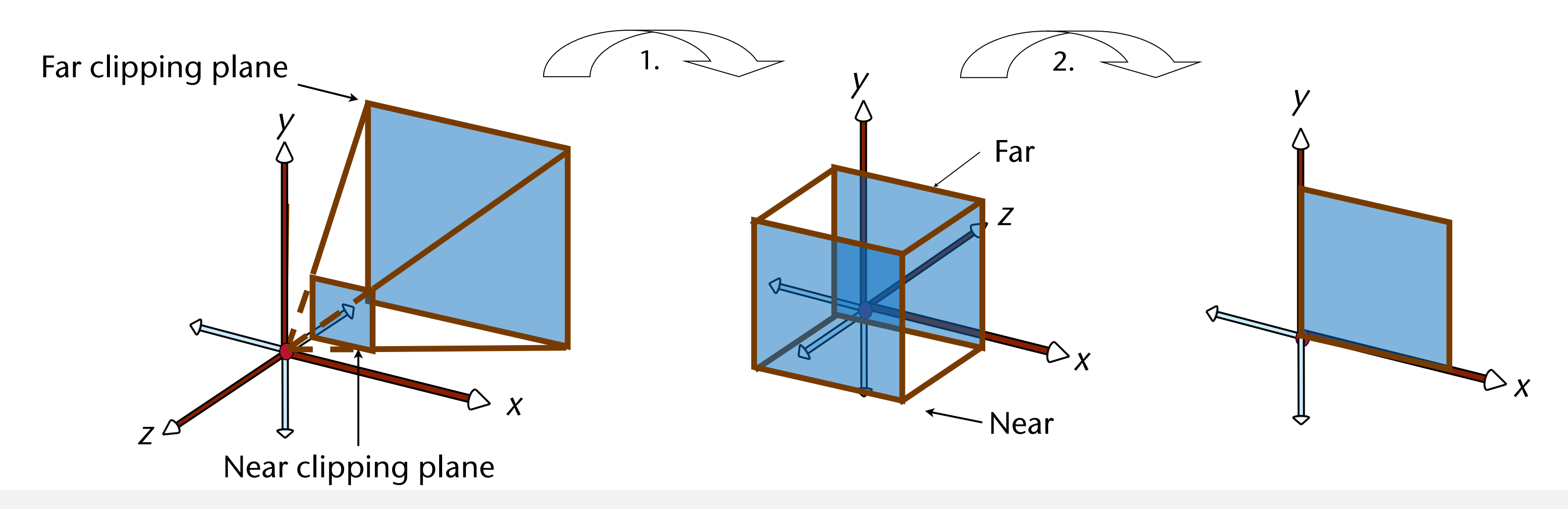
numerisch instabil



### Perspektivische Projektion in 2 Schritten



- Wegen Clipping macht man die perspektivische Projektion in zwei Schritten
- 1. Perspektivische Abbildung (noch keine Projektion, im Vertex-Shader)
  - Achtung: enthält Übergang von Recht- auf Links-System!!
- 2. Projektion auf Ebene (einfach Z-Koord. weglassen, automatisch)



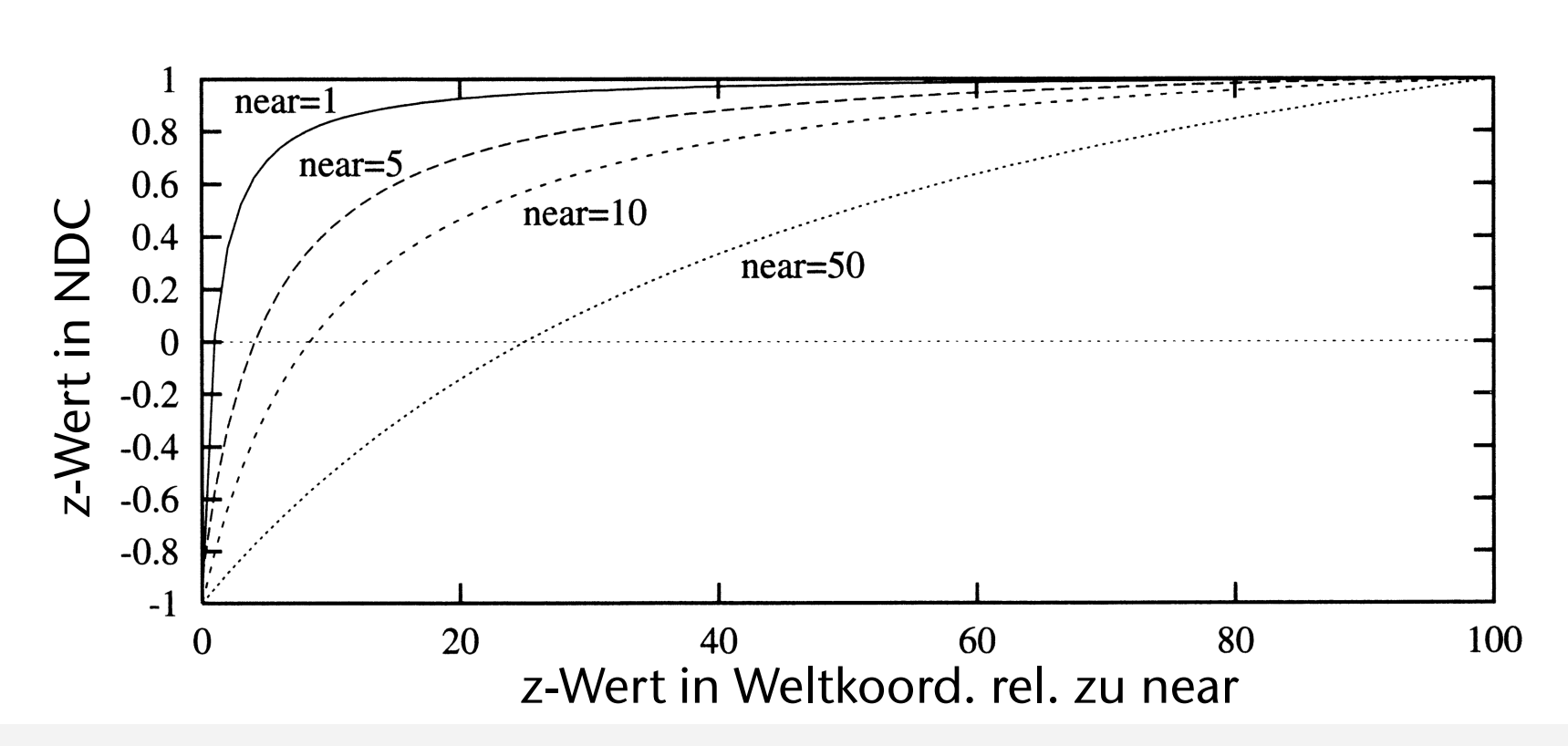


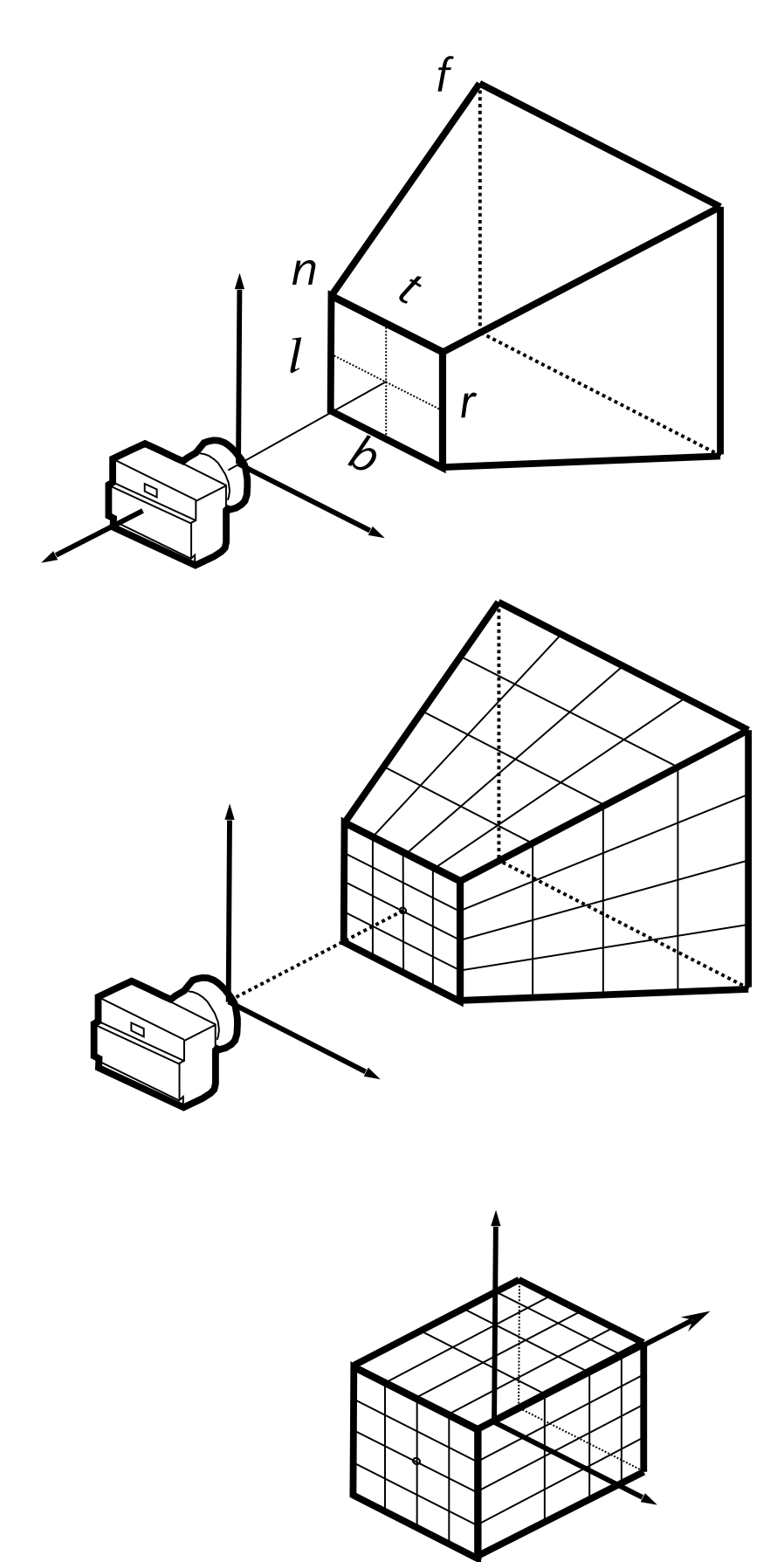


 Die Matrix für Schritt 1 (o. Bew.):

$$P_1 = egin{pmatrix} rac{2n}{r-I} & 0 & rac{r+I}{r-I} & 0 \ 0 & rac{2n}{t-b} & rac{t+b}{t-b} & 0 \ 0 & 0 & -rac{f+n}{f-n} & -rac{2fn}{f-n} \ 0 & 0 & -1 & 0 \end{pmatrix}$$

 Achtung: der z-Wert in NDC hängt nicht linear vom z-Wert in Weltkoordinaten ab!

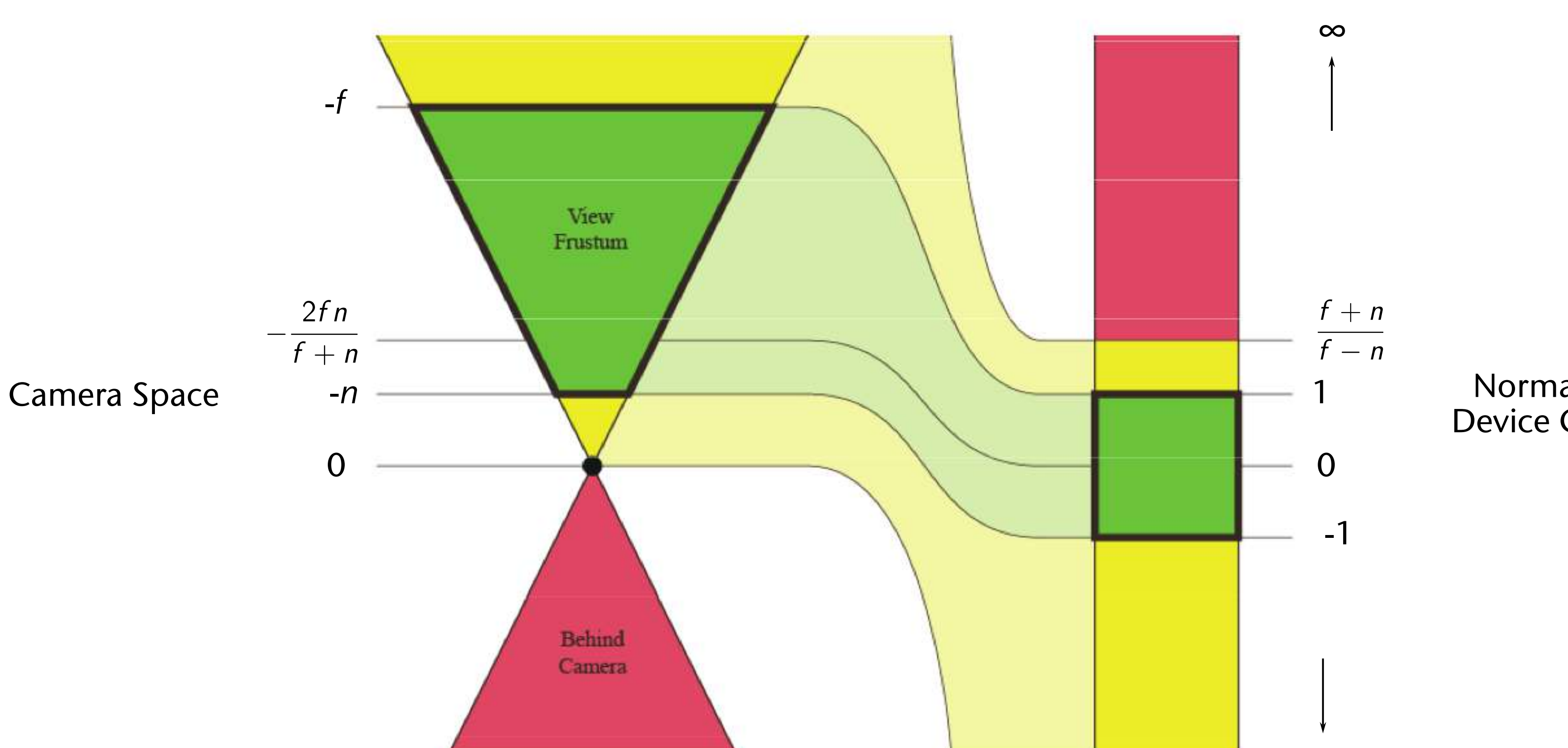






#### Visualisierung des Z-Werte-Bereiches





Normalized **Device Coords** 

-∞



## Allgemeine projektive Transformationen



• Die allgemeine Matrix 
$$B = \begin{pmatrix} A & b \\ q^T & w \end{pmatrix}$$
,  $A \in \mathbb{R}^{3 \times 3}$ ,  $b, q \in \mathbb{R}^3$ ,  $w \in \mathbb{R}$ 

entspricht für 
$$y = \begin{pmatrix} x \\ 1 \end{pmatrix}$$
,  $x \in \mathbb{R}^3$ , der Abbildung

$$\psi \colon \mathsf{X} \mapsto \frac{\mathsf{A}\mathsf{X} + \mathsf{b}}{\mathsf{q}^\mathsf{T}\mathsf{X} + \mathsf{w}}$$

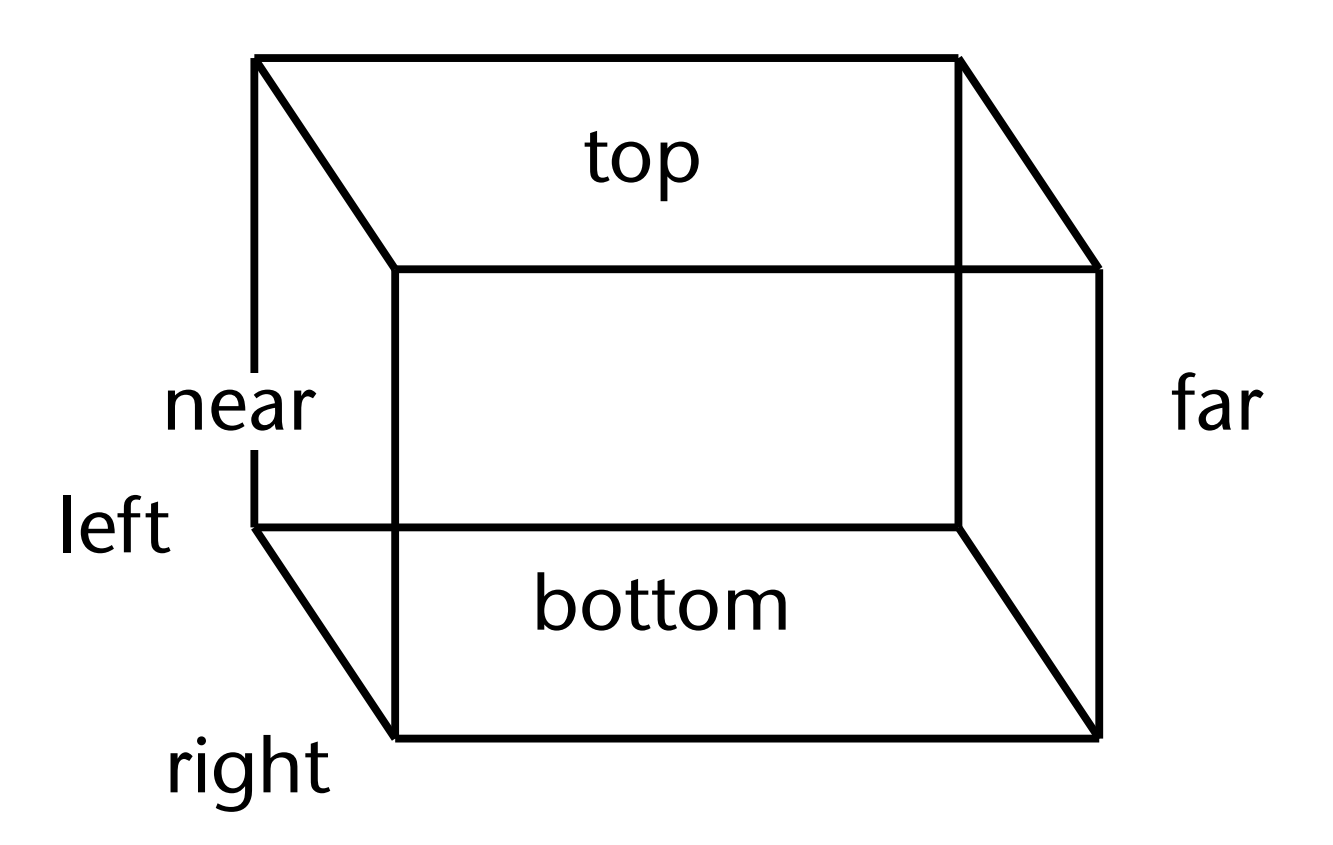
- B und  $\lambda B$  beschreiben dieselbe Abbildung ( $\lambda \neq 0$ )
- Bildet Geraden auf Geraden ab
- Erhält i. A. weder Parallelität noch Teilungsverhältnisse
- Erhält aber Doppelverhältnisse



## Projektionsmatrizen mit Qt für OpenGL



Orthographische Projektion



```
QMatrix4x4::ortho(left, right, bottom, top, near, far);
```

http://doc.qt.io/qt-5/qmatrix4x4.html

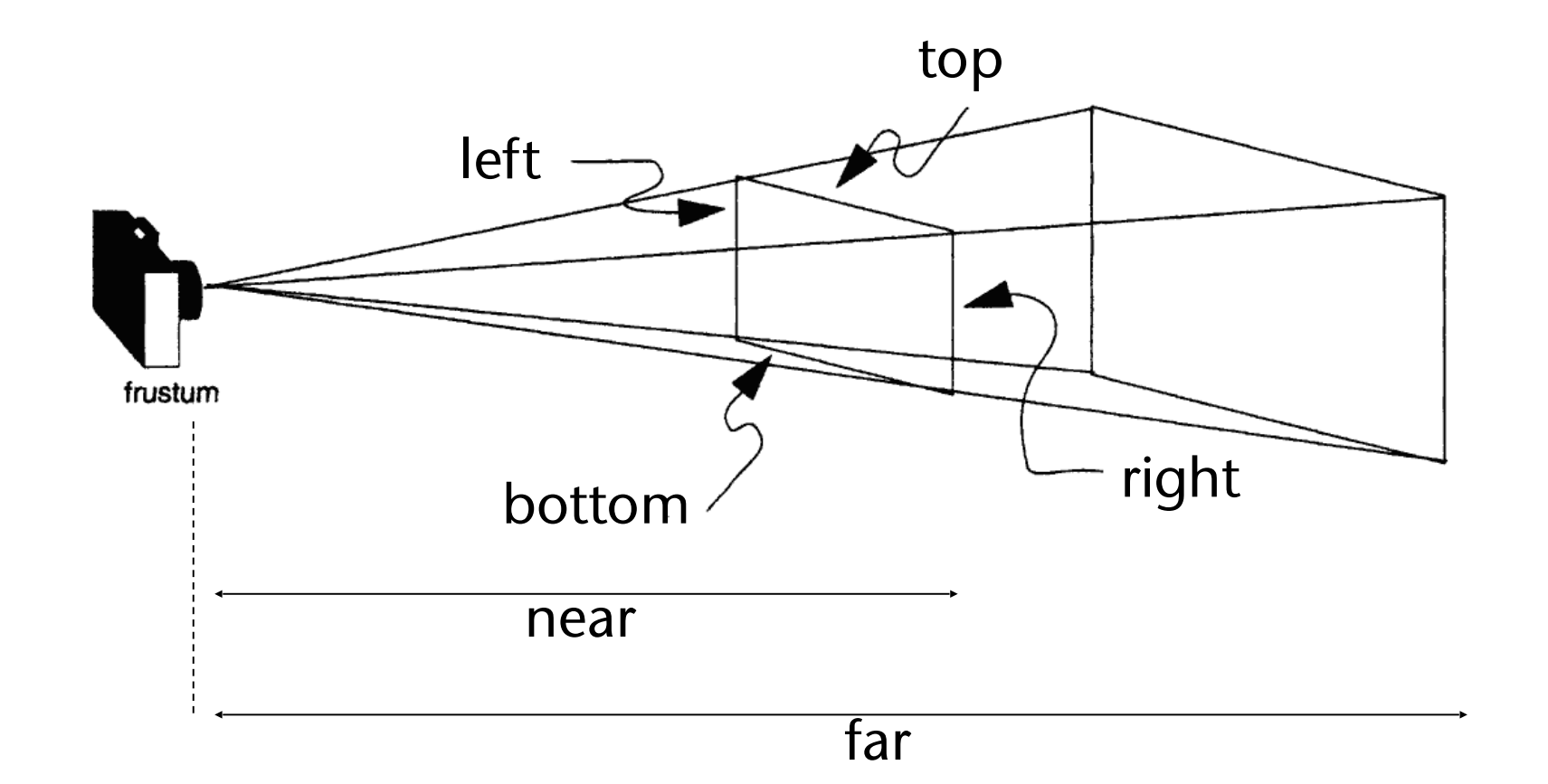


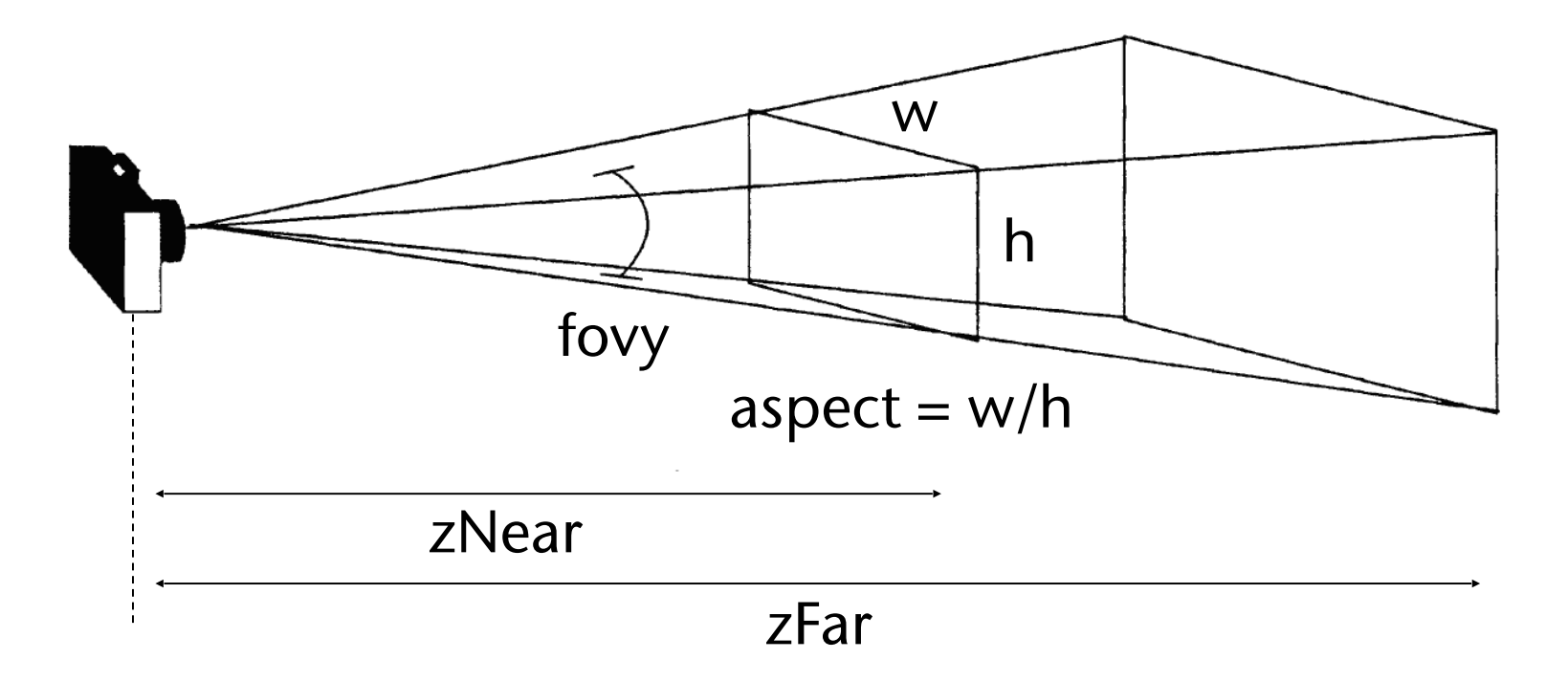


#### Perspektivische Projektion:

```
QMatrix4x4::frustum(
   left, right,
   bottom, top,
   near, far);
```

```
QMatrix4x4::perspective(
   fovy, aspect,
   zNear, zFar);
```





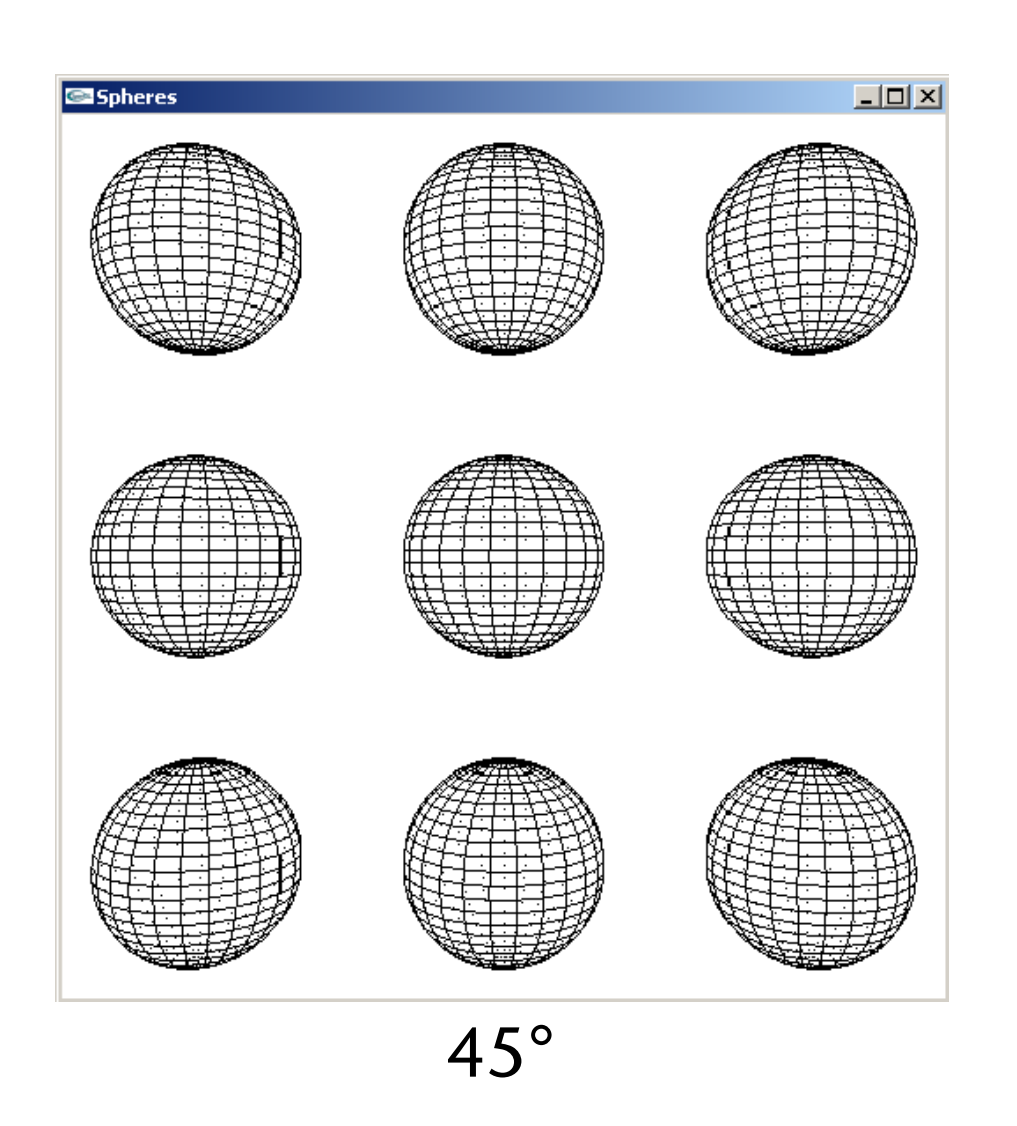
http://doc.qt.io/qt-5/qmatrix4x4.html

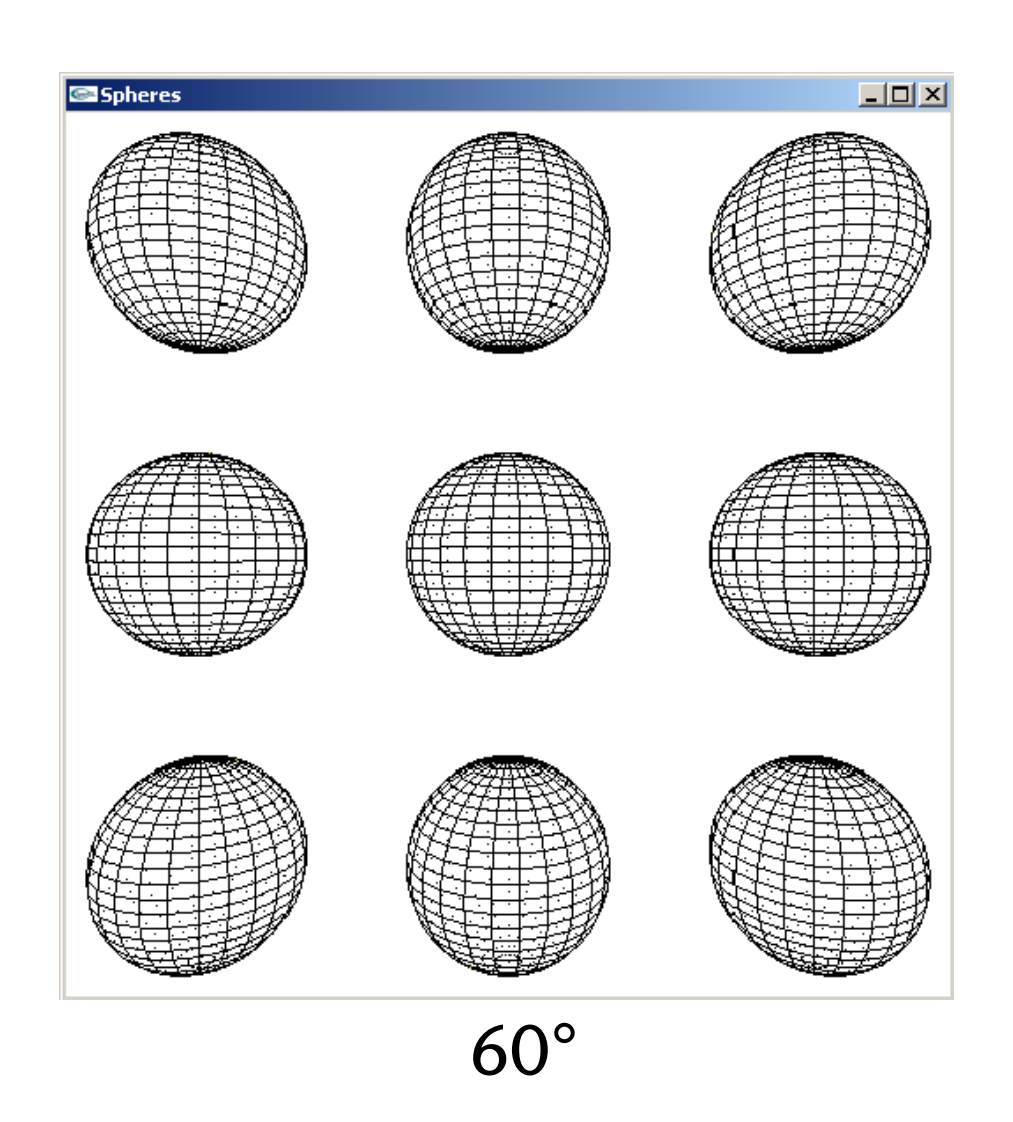


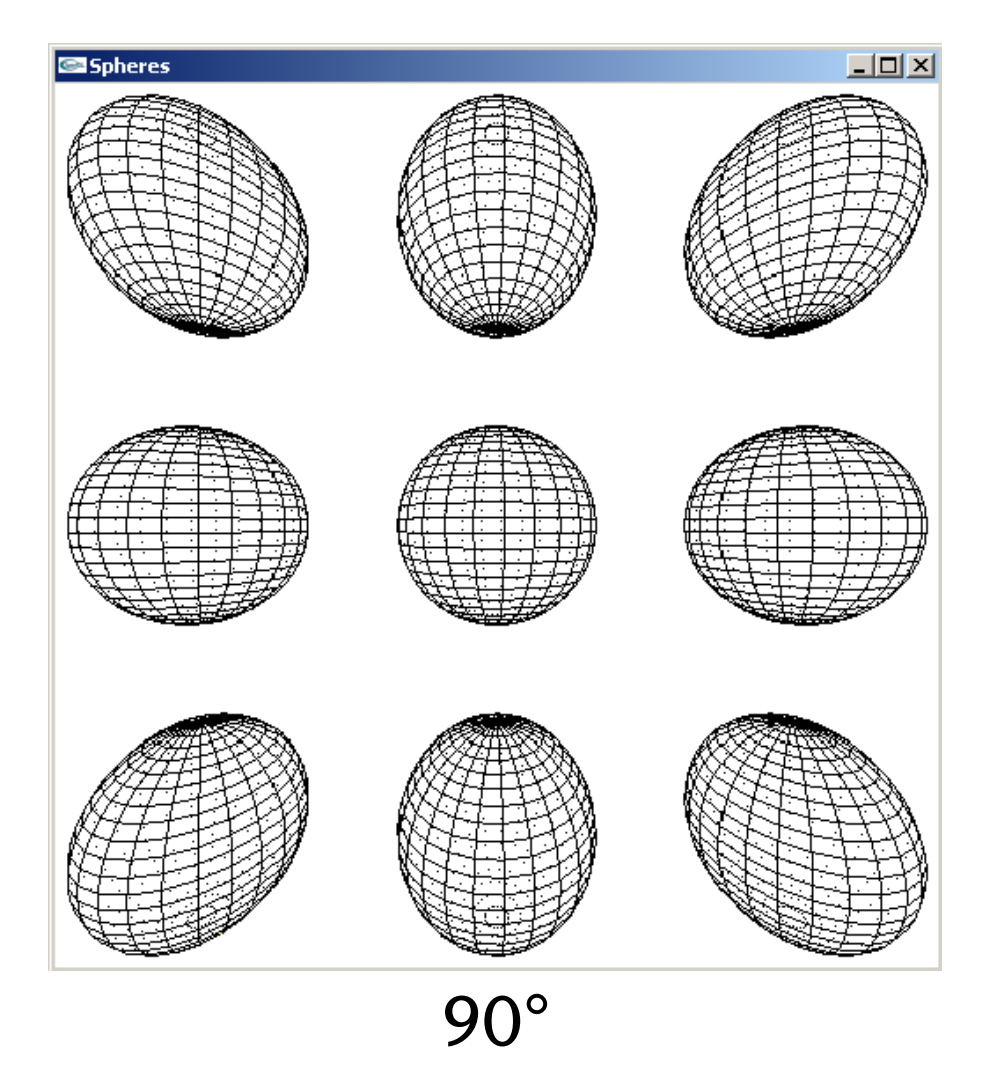


34

• Vorsicht bei Perspektive: Öffnungswinkel nicht zu groß wählen!







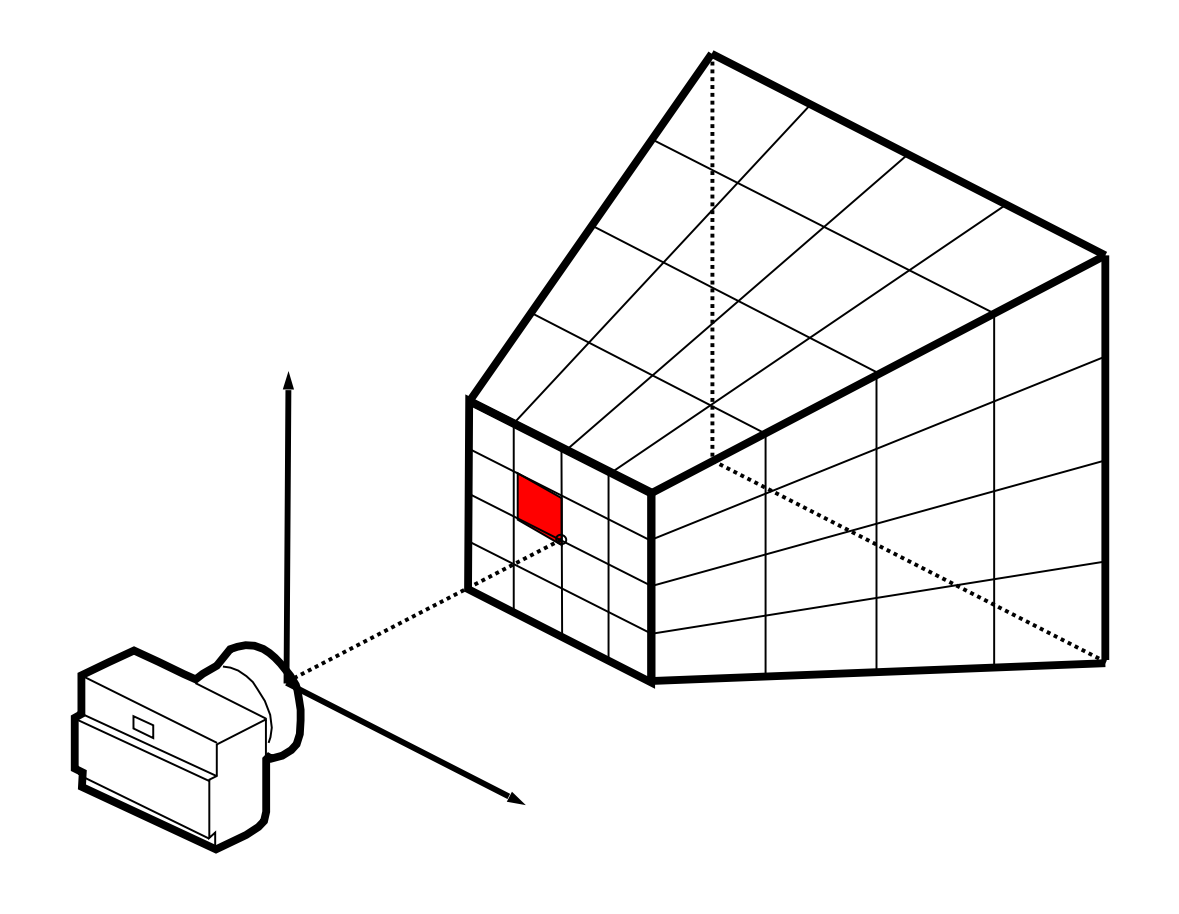


### Asymmetrisches Frustum ("off-center perspective")



35

- Kommt manchmal vor, z.B.
  - Stereo-Projektion (s. VR-Vorlesung)
  - Rendern eines Posters mit 10000 x 10000 Pixel (Framebuffer zu klein)
- Projektionsmatrix muss "von Hand" generiert werden (mit QMatrix4x4::perspective() nicht möglich)
- Poster: Zerlegen in viele Teilbilder mit voller Auflösung

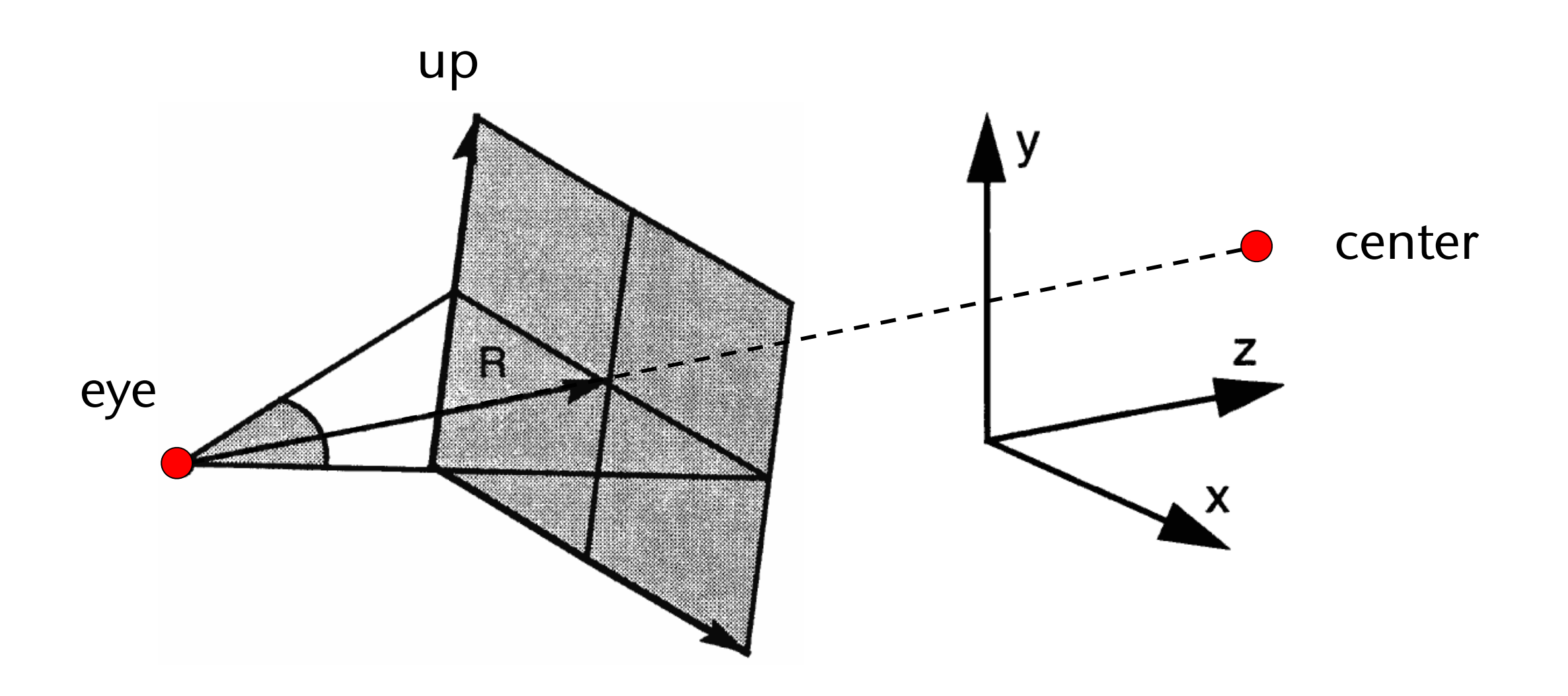


Hier ist left ≠ right, top ≠ bottom!



### Festlegen der Kamera-Transformation mittels Qt







## Die Projektionsmatrix in OpenGL



- Die Projektions-Matrix muss ab OpenGL 2+ manuell an das Shader-Programm übergeben werden
  - Man muss im Shader-Programm selbst die Transformation durchführen

Host program (in C)

Shader program (in GLSL)



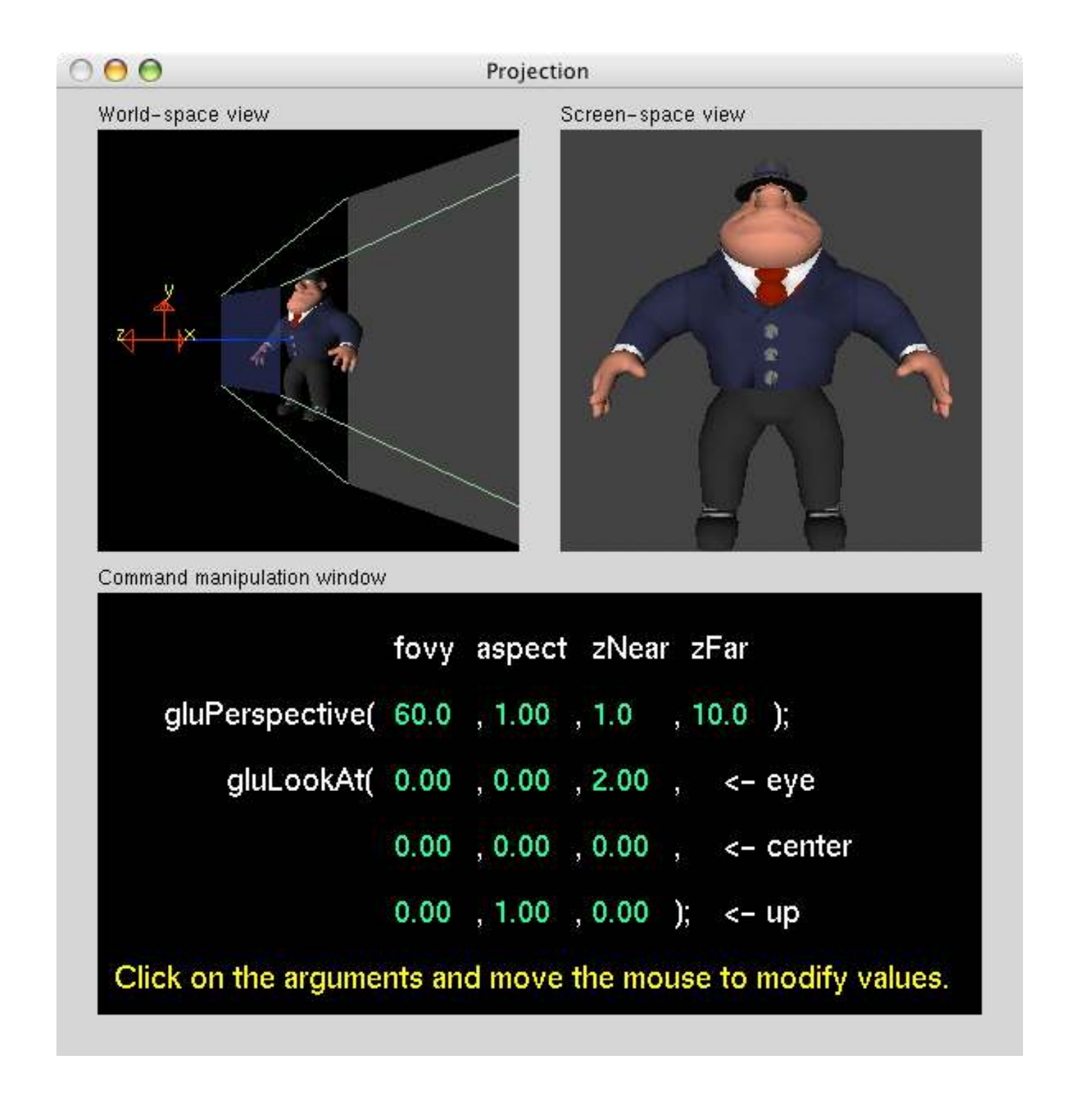


• Ein typisches OpenGL-Programm sieht dann ungefähr so aus:



### Demo





http://www.xmission.com/~nate/tutors.html







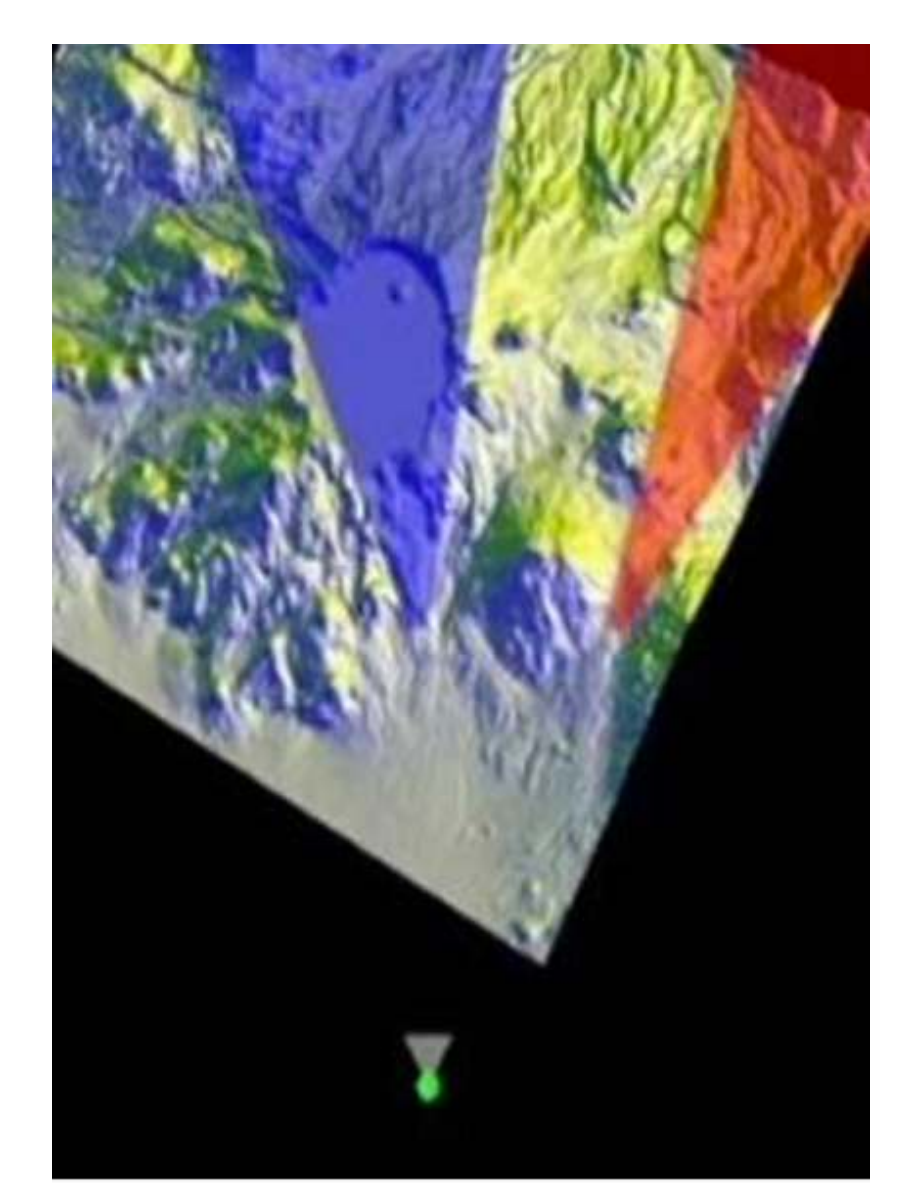




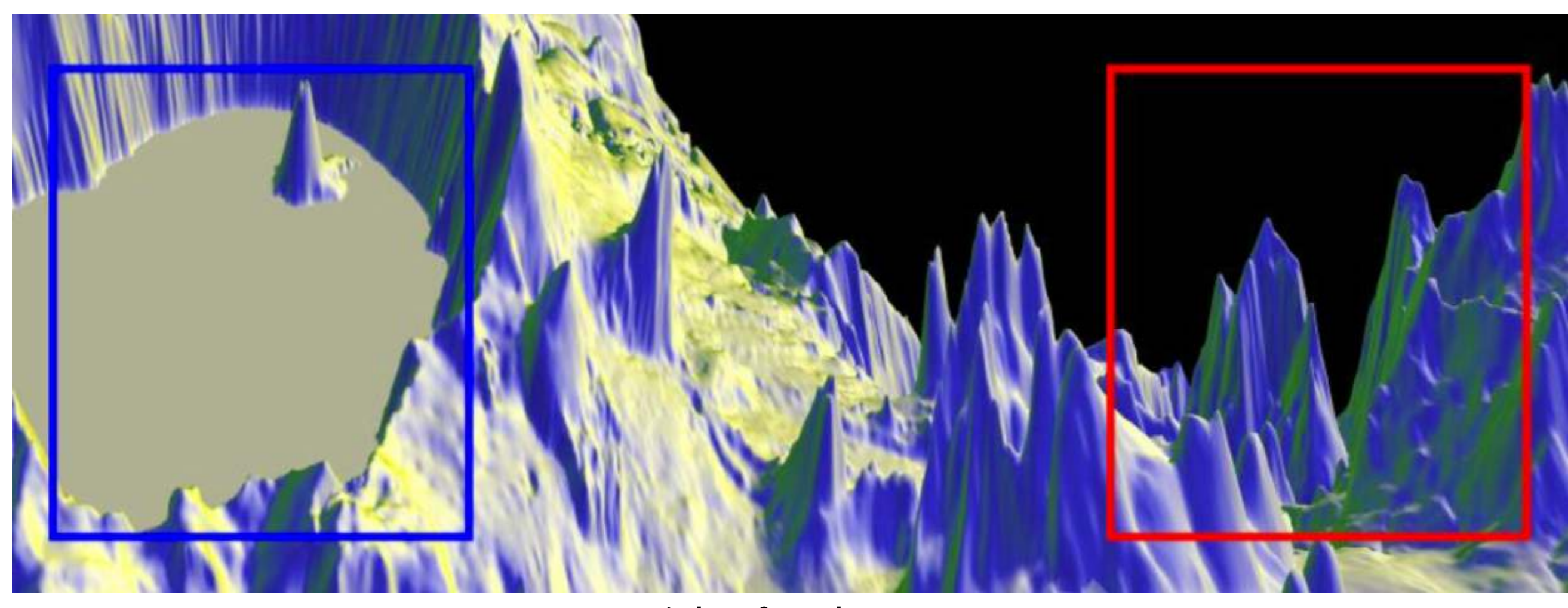
# Multi-Perspective



- Eine Visualisierungstechnik aus der Kategorie Focus+Context
- Beispiel: Hervorhebung von bestimmter Details



Vogelperspektive

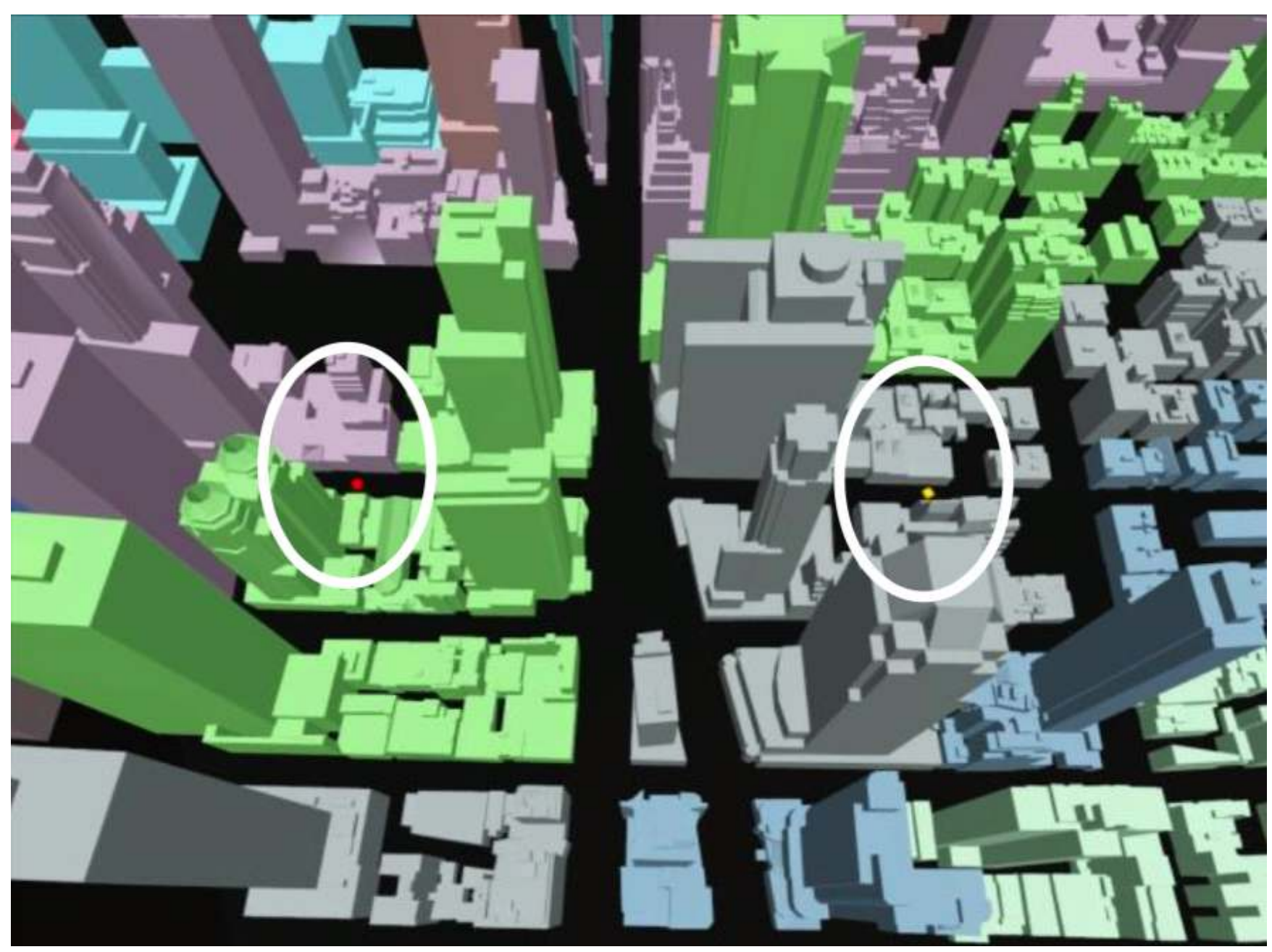


Ansicht für den User

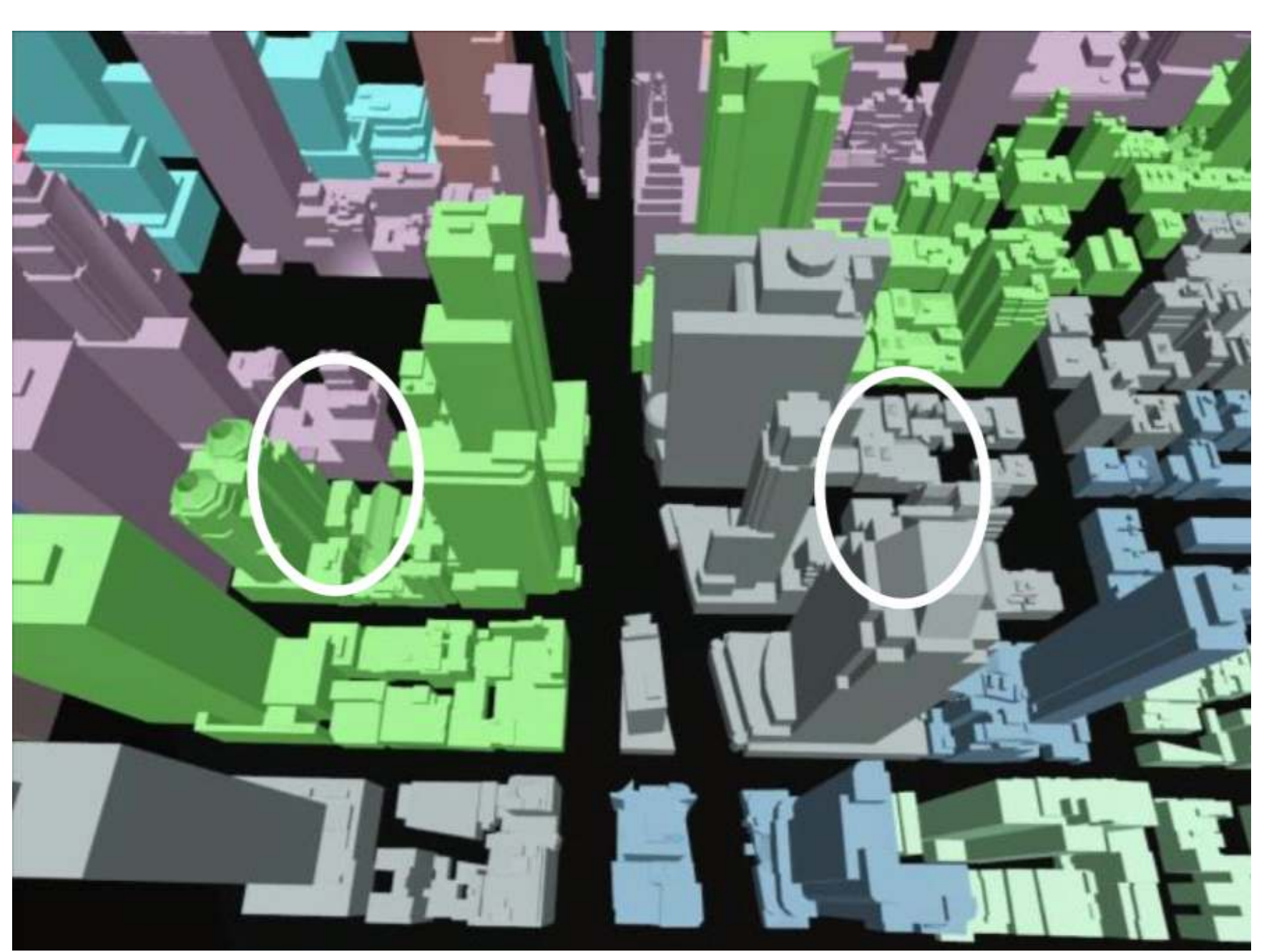




• Beispiel: Occlusion wichtiger Teile der Szene



Roter und gelber Punkt sollen sichtbar sein

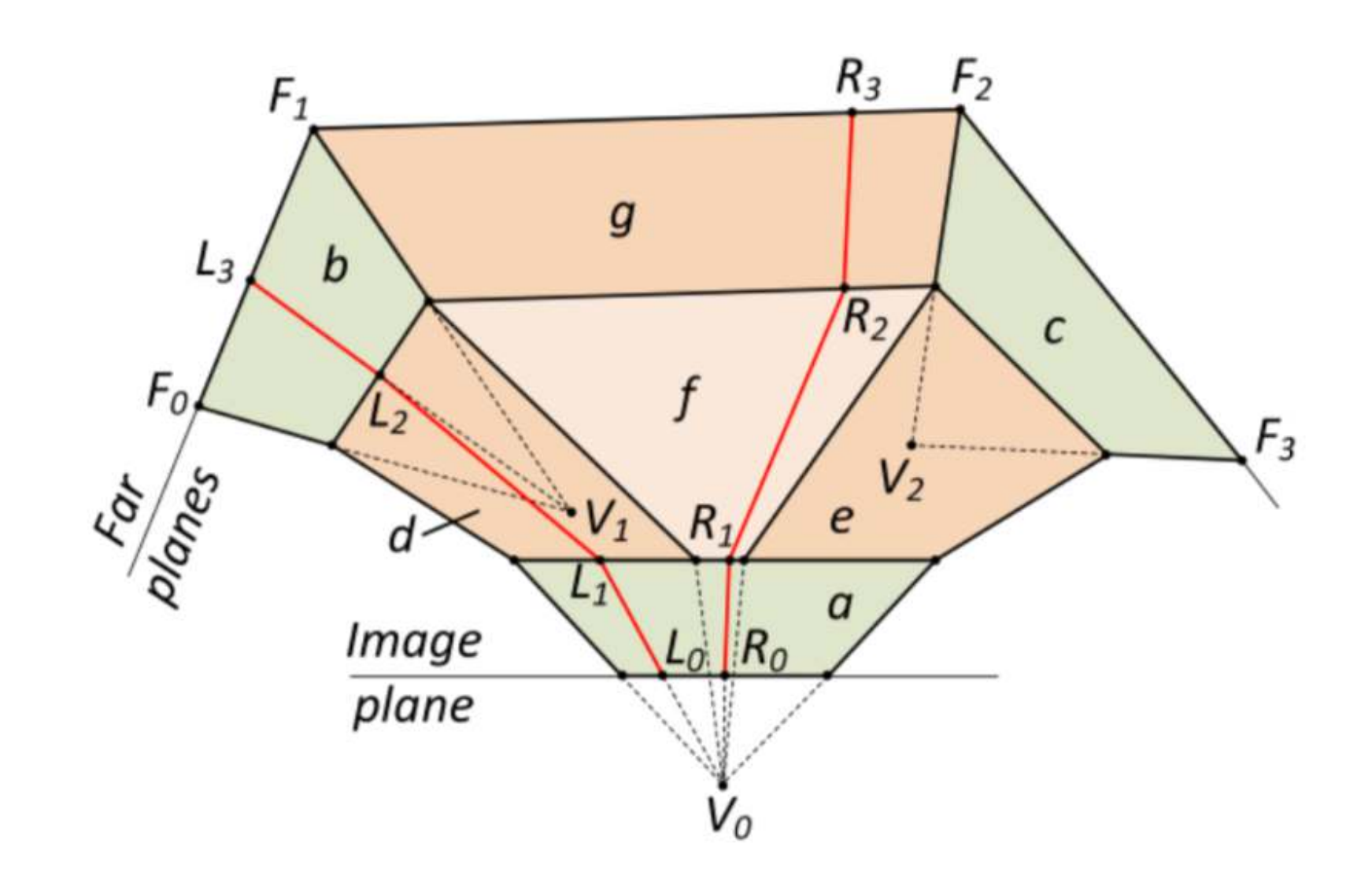


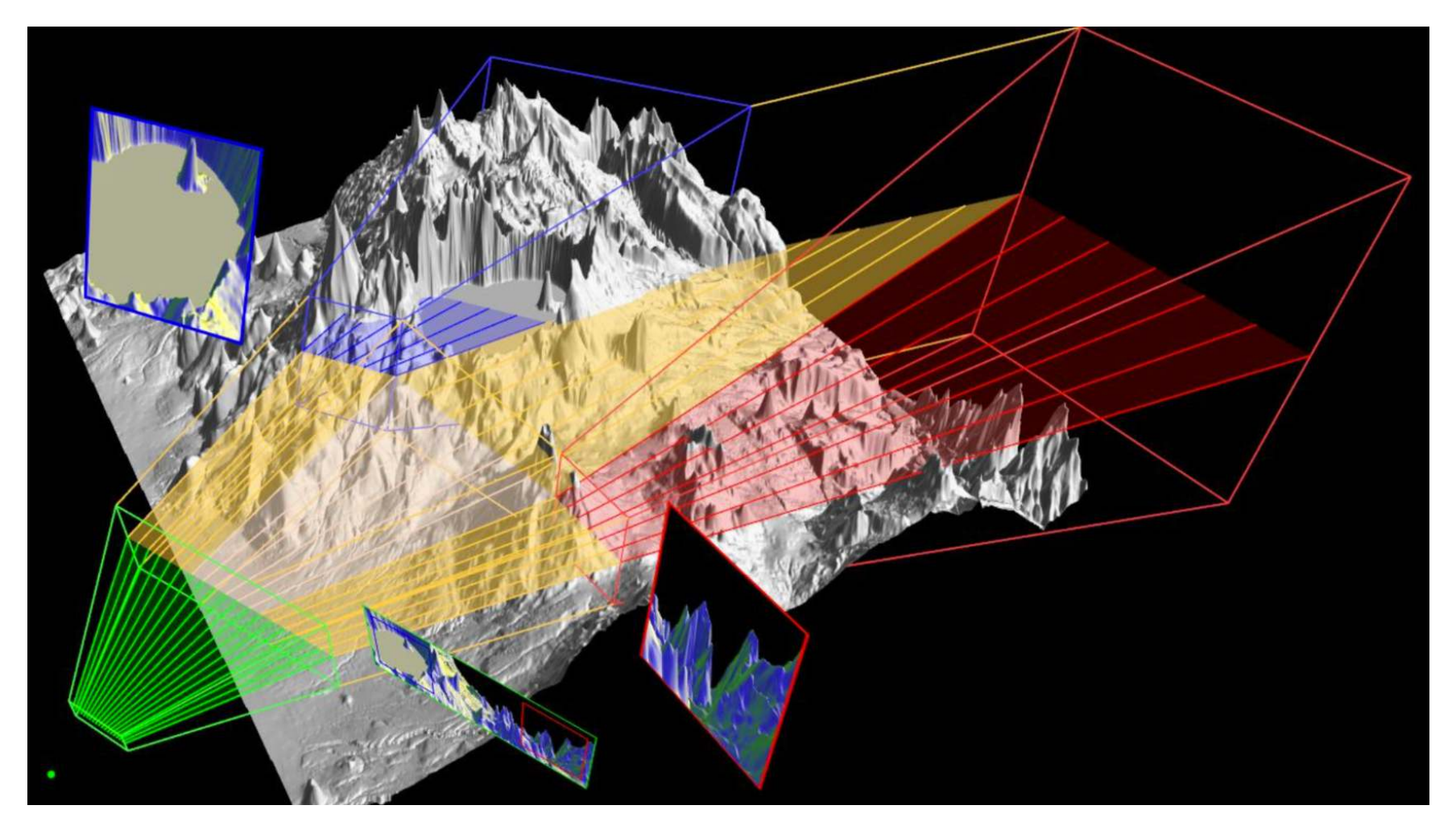
Bei normaler perspektivischer Projektion wären diese verdeckt



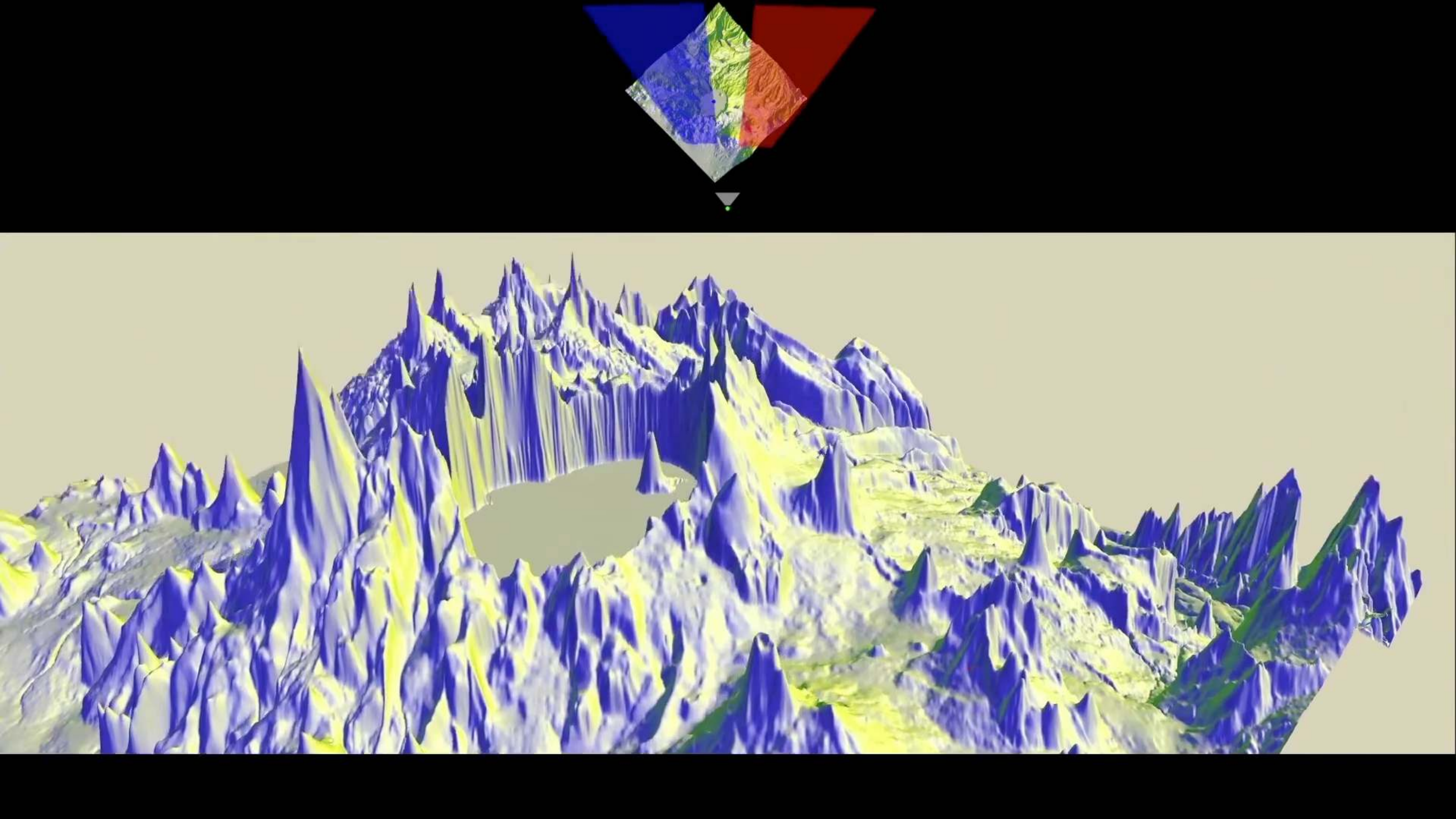
#### Hinweise zur Technik







Die Projektion wird durch mehrere View-Frusta definiert. Jedem Pixel wird ein Strahl zugeordnet, der mehrfach "gebrochen" werden kann durch die verschiedenen View-Frusta. Visualisierung mehrerer dieser Strahlen

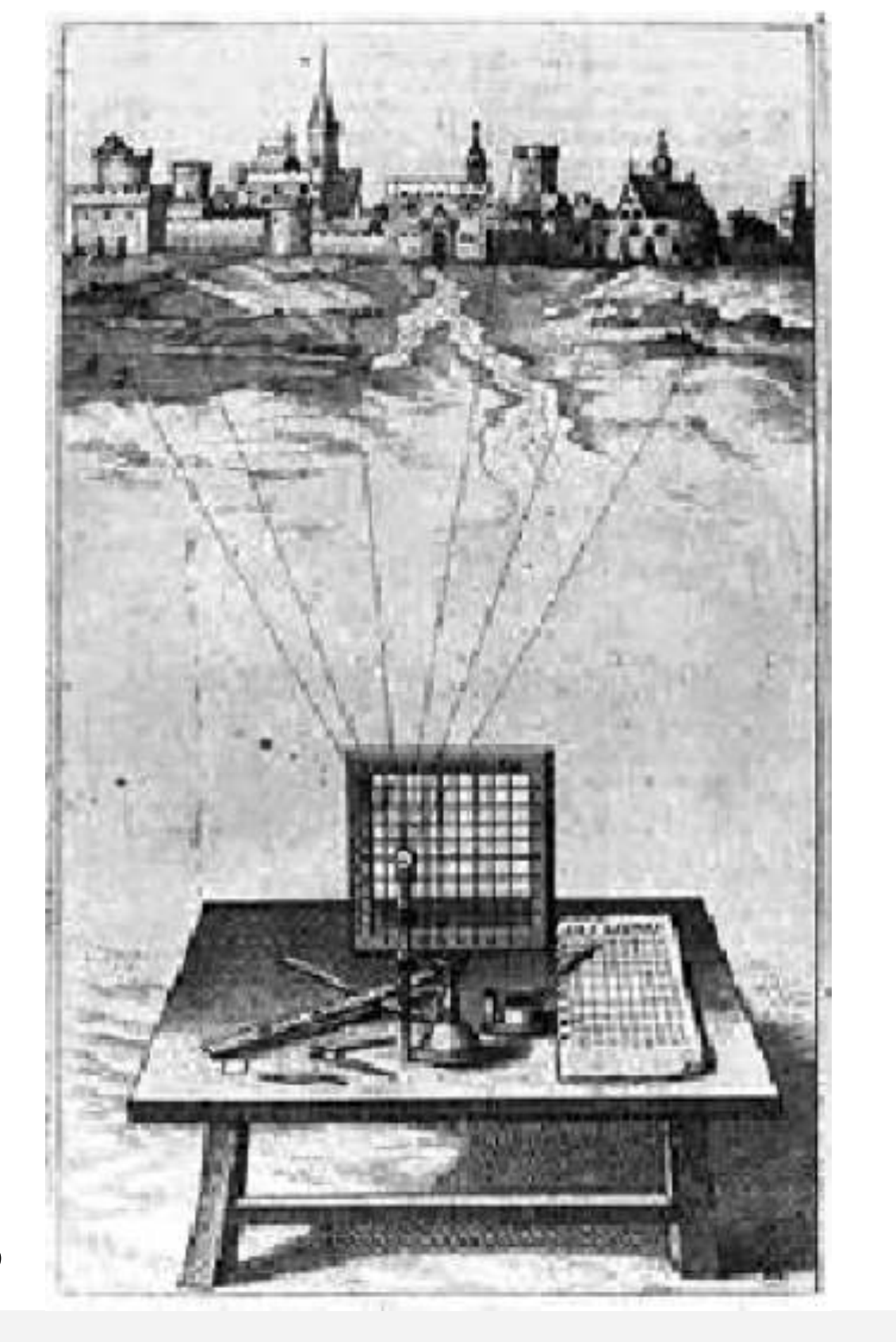




## Noch einige Beispiele aus der Kunst



- Theoretisch wurde die Lösung des Problems der Perspektive von Leon Battista Alberti in seinem Buch Della Pittura, 1435-1436, beschrieben
- Brunelleschi löste es als erster praktisch 1410-1420



Alberti's reticolato

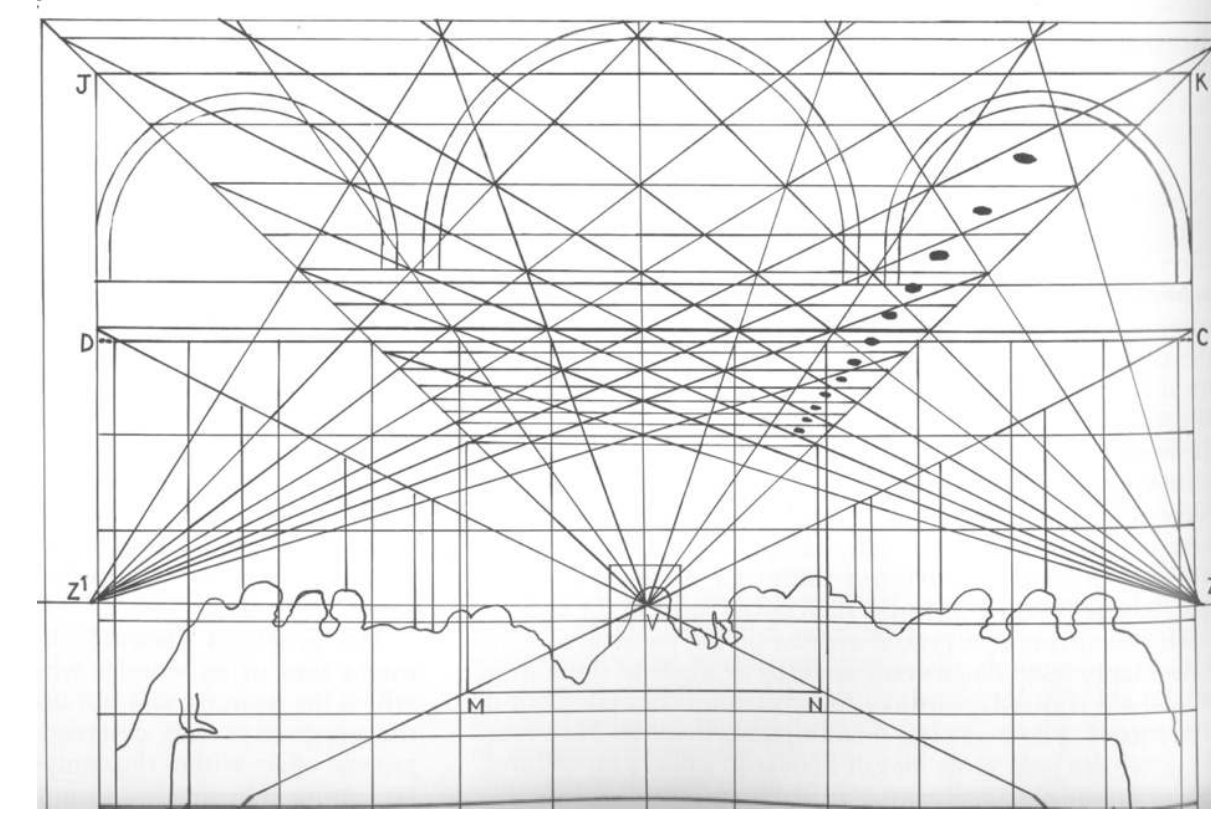




Leonardo da Vinci sagte:

There are some who look at the things produced by nature through glass, or other surfaces, or transparent veils. They trace outlines on the surface of the transparent medium... But such an invention is to be condemned in those who do not know how to portray things without it, how to reason about nature with their minds... They are always poor and mean in every invention and in the composition of narratives, which is the final aim of this science







## Erste gezielte Multi-Perspektive





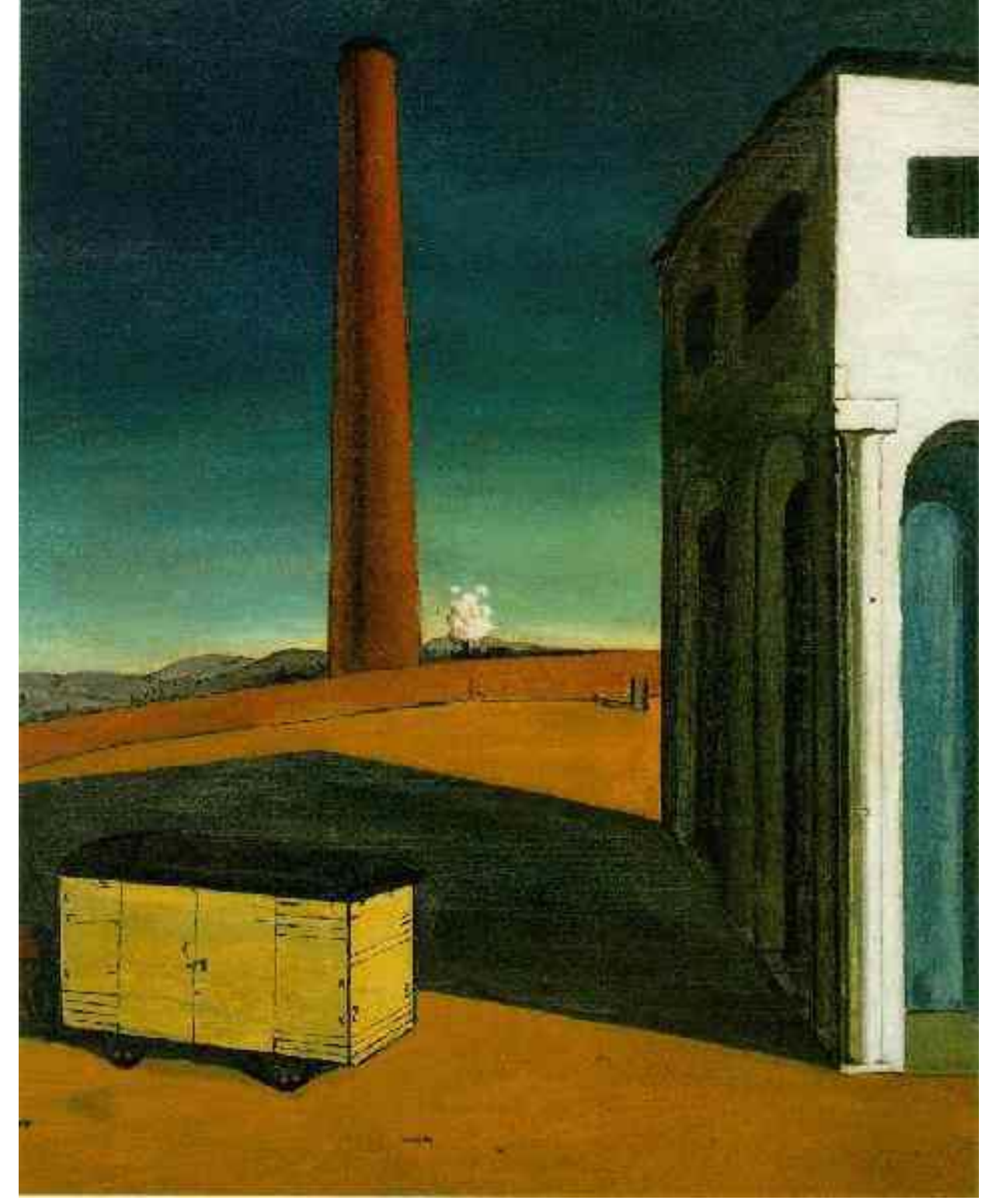
Raffael: *Die* Schule von Athen



#### Multi-Perspektive, um den mystischen Eindruck zu erhöhen





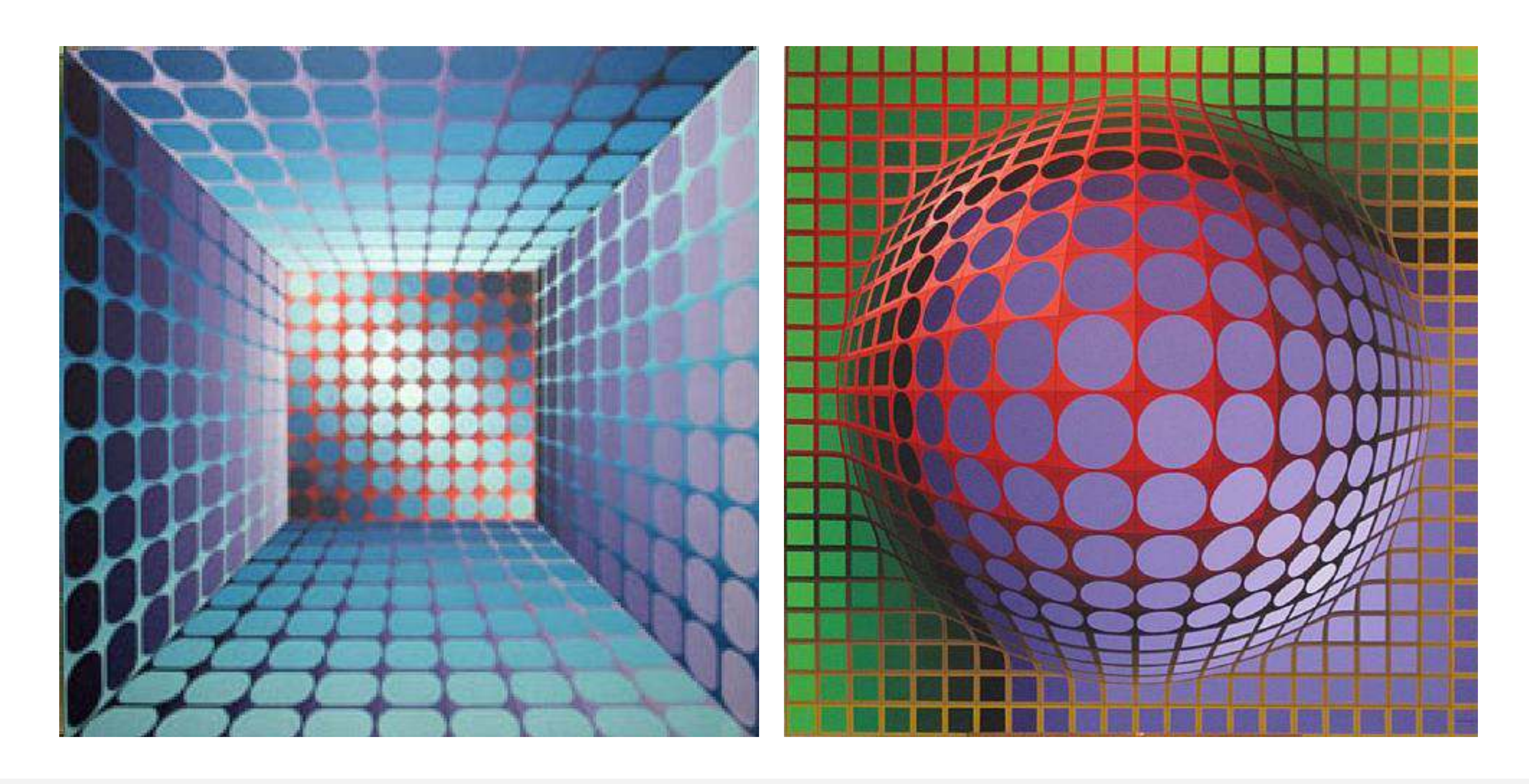


De Chirico



### Viktor Vasarely: Perspektive in der abstrakten Kunst

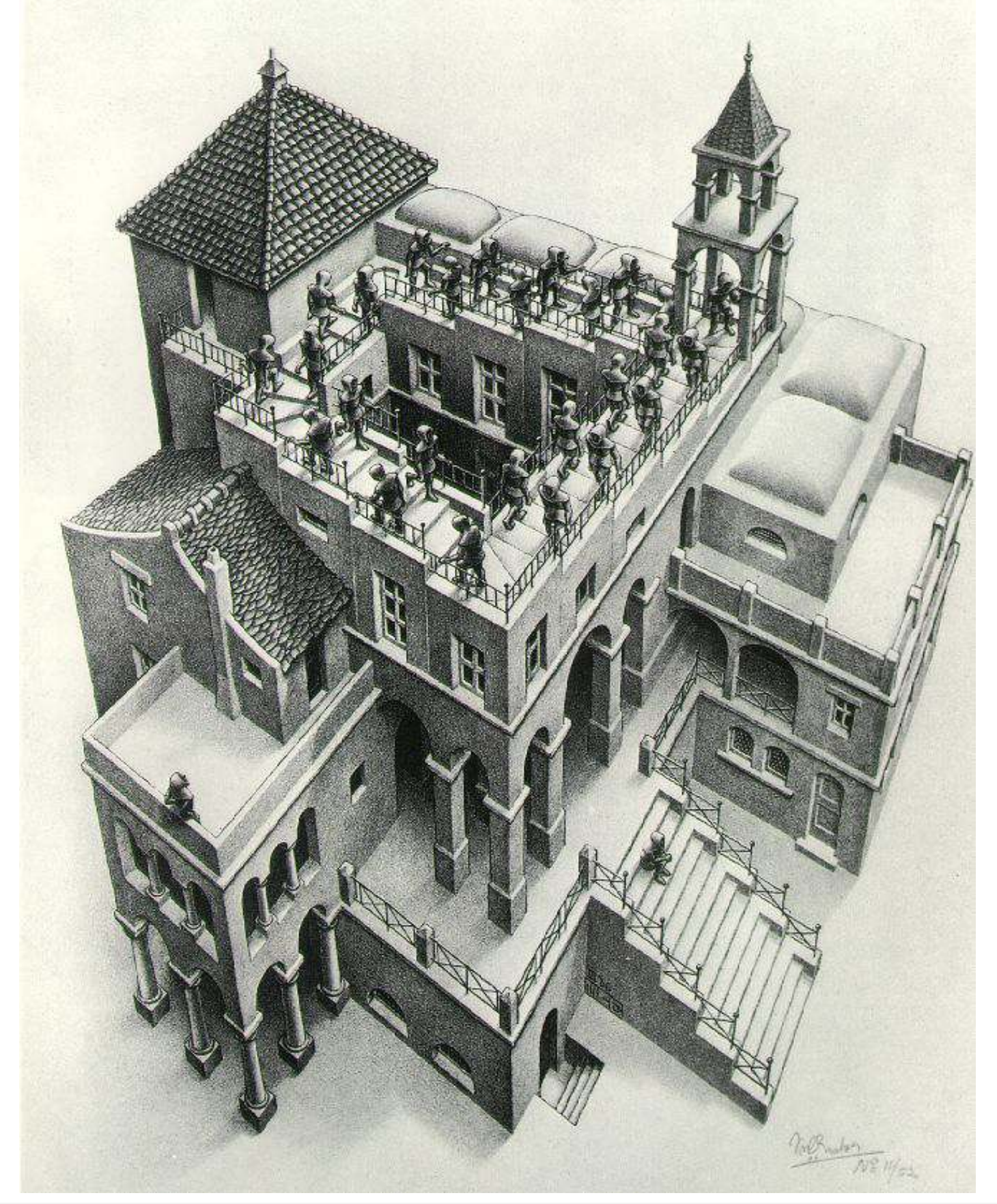






### Einsatz der (korrekten) Perspektive zur Irritation des Betrachters





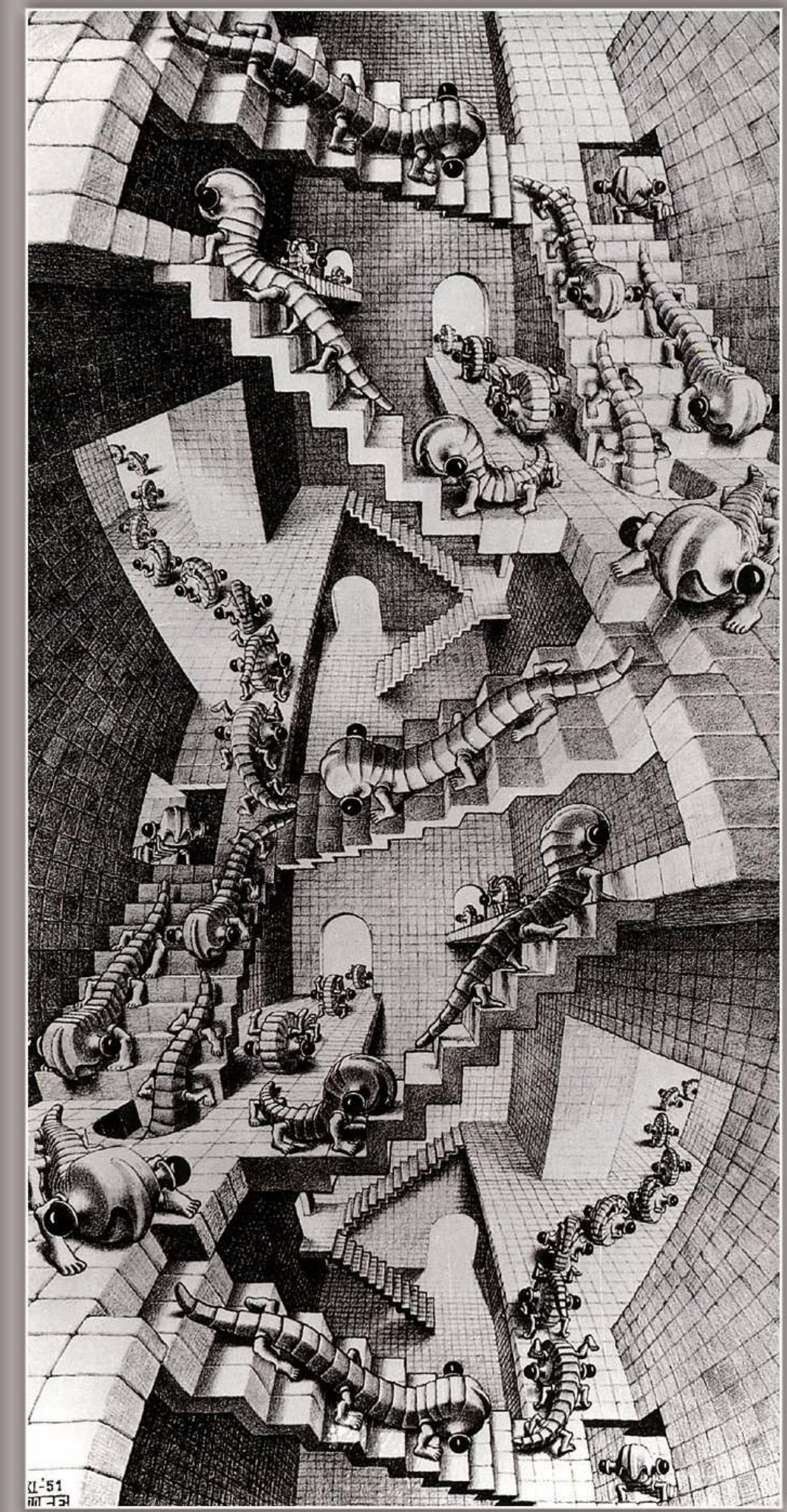
Maurits Cornelis Escher: Ascending and Descending 1960, Lithograph



#### Nicht-lineare Perspektive



51



M. C. Escher

G. Zachmann Computergraphik 1 WS WS Projektionen



